

# RENDICONTI *del* SEMINARIO MATEMATICO *della* UNIVERSITÀ DI PADOVA

EDMONDO MORGANTINI

## **Sulla configurazione di tre omologie piane in posizione omologica**

*Rendiconti del Seminario Matematico della Università di Padova,*  
tome 29 (1959), p. 328-400

[http://www.numdam.org/item?id=RSMUP\\_1959\\_\\_29\\_\\_328\\_0](http://www.numdam.org/item?id=RSMUP_1959__29__328_0)

© Rendiconti del Seminario Matematico della Università di Padova, 1959, tous droits réservés.

L'accès aux archives de la revue « Rendiconti del Seminario Matematico della Università di Padova » (<http://rendiconti.math.unipd.it/>) implique l'accord avec les conditions générales d'utilisation (<http://www.numdam.org/conditions>). Toute utilisation commerciale ou impression systématique est constitutive d'une infraction pénale. Toute copie ou impression de ce fichier doit contenir la présente mention de copyright.

NUMDAM

*Article numérisé dans le cadre du programme  
Numérisation de documents anciens mathématiques*  
<http://www.numdam.org/>

# SULLA CONFIGURAZIONE DI TRE OMOLOGIE PIANE IN POSIZIONE OMOLOGICA

*Memoria (\*) di EDMONDO MORGANTINI (a Padova)*

## INTRODUZIONE

Questo lavoro non ha eccessive pretese di originalità, nè si distingue per la modernità o la difficoltà del suo contenuto. L'Autore l'ha iniziato per curiosità e l'ha terminato per divertimento, prendendo lo spunto dal noto<sup>1)</sup> teorema di geometria elementare: « dato un triangolo equilatero, i simmetrici  $P_1P_2P_3$  di un medesimo punto  $P$  rispetto ai suoi lati  $b_1b_2b_3$  sono vertici di un triangolo omologico al dato ».

È chiaro che, data nel piano una qualsiasi terna di omologie  $\Omega_1, \Omega_2, \Omega_3$ , il triangolo  $P_1P_2P_3$  degli omologhi di uno stesso punto  $P$  è sempre omologico a quello  $A_1A_2A_3$  dei centri delle  $\Omega_i$ . Invece non sempre  $P_1P_2P_3$  è omologico a quello avente per lati gli assi  $b_i$  delle  $\Omega_i$ . Se però ciò accade per ogni scelta del punto  $P$ , come nel caso delle tre simmetrie di cui sopra, diremo che le tre omologie  $\Omega_i$  sono *in posizione omologica puntuale*.

Sorge quindi spontanea la ricerca e la caratterizzazione delle terne di omologie piane in posizione omologica puntuale e — dualmente — quella delle terne di omologie piane *in*

---

(\*) Pervenuta in Redazione il 18 giugno 1959.

Indirizzo dell'A.: Istituto matematico, Università, Padova.

<sup>1)</sup> Cfr. ad es. M. BALDASSARRI, *Guida allo studio della geometria analitica e proiettiva*, vol. II (Padova, Randi, 1958), p. 287.

*posizione omologica radiale*, ossia tali che il triangolo avente per lati le omologhe  $g_1g_2g_3$  di una retta generica  $g$  sia sempre omologico al triangolo  $A_1A_2A_3$  dei centri delle  $\Omega_i$ .

Tale ricerca e tale caratterizzazione sono appunto svolte nelle pagine seguenti, con i metodi analitici e sintetici della geometria proiettiva. Facendo poi assumere alle configurazioni trovate particolari atteggiamenti metrici, si ritrovano anche — inquadrati in una teoria organica — numerosi ed eleganti teoremi di geometria del triangolo.

\* \* \*

Escluso preliminarmente il caso banale, di contemporanea posizione omologica assiale e radiale, in cui il triangolo dei centri coincide col triangolo degli assi delle  $\Omega_i$ , si suppone dapprima non accada che contemporaneamente i centri delle  $\Omega_i$  siano allineati e gli assi concorrenti.

Allora, condizione *necessaria* affinché le tre  $\Omega_i$  siano in posizione omologica è che siano *omologici il triangolo*  $(A_i) = (a_i)$  *dei loro centri e quello*  $(b_i) = (B_i)$  *dei loro assi* (nn. 1, 2). Detti  $r$  ed  $S$  l'asse ed il centro di questa omologia, si riconosce poi che, se i centri  $A_i$  non sono allineati, nessuno di essi appartiene alla retta  $r$ , mentre se gli assi  $b_i$  non concorrono, a nessuno di essi appartiene il punto  $S$  (n. 3). Inoltre:

*Fissati ad arbitrio la retta  $r$  ed i centri  $A_i$  (non allineati, nè appartenenti ad  $r$ ) di tre omologie  $\Omega_i$  in posizione omologica radiale, se ne possono scegliere ad arbitrio anche gli assi  $b_i$ , rispettivamente nei fasci di centri  $R_i = r \cdot a_i$ , purchè distinti dalle  $a_i$  (per evitare il caso banale) e dalle coniugate armoniche  $r_i$  di  $r$  rispetto alle coppie di rette  $a_i, R_iA_i$ . Dopo di che le tre  $\Omega_i$  sono completamente determinate, dovendo in ciascuna di esse alla retta  $r_i$  corrispondere la retta  $a_i$ . In altre parole questa è la condizione sufficiente per la posizione omologica radiale, quando i centri  $A_i$  delle  $\Omega_i$  non sono allineati (n. 4).*

Dualmente, *si possono scegliere ad arbitrio gli assi non concorrenti  $b_i$  di una terna di omologie  $\Omega_i$  in posizione omologica puntuale ed il punto  $S$ , non appartenente ad alcuno di essi. Dette  $s_i$  le rette  $SB_i$ , sulle  $s_i$  si possono poi scegliere,*

*pure ad arbitrio, i centri  $A_i$  delle  $\Omega_i$ , purchè distinti da  $B_i$ , e dal coniugato armonico  $S_i$  di  $S$  rispetto alla coppia di punti  $B_i, s_i \cdot b_i$ . Ed infine ogni  $\Omega_i$  risulta determinata, in quanto in essa ad  $S_i$  corrisponde il punto  $B_i$ .*

Si ha così anche la condizione *sufficiente* per la posizione omologica puntuale delle  $\Omega_i$  (n. 4), quando i loro assi  $b_i$  non sono concorrenti.

Nel n. 5 si osserva che (se gli assi delle  $\Omega_i$  non concorrono) le condizioni per la posizione omologica puntuale sono quelle necessarie e sufficienti affinchè sia concorrente la trilinearità tra i fasci  $B_i$  ottenuta da quella concorrente tra i fasci  $S_i$ , riferendo ciascun fascio  $S_i$  a quello  $B_i$  mediante la prospettività di asse  $b_i$ . E dualmente.

D'altra parte si riconosce subito che *se tre omologie  $\Omega_i$  sono in posizione omologica radiale, le loro inverse sono in posizione omologica puntuale* (nn. 7, 8).

Da quanto precede consegue che una terna di omologie  $\Omega_i$  non può essere contemporaneamente in posizione omologica puntuale e radiale — ossia, brevemente, in *posizione omologica* — se le  $\Omega_i$  non sono omologie *armoniche*. A questo proposito conviene considerare il polo armonico  $R$  della retta  $r$  rispetto al triangolo ( $A_i$ ) dei centri e la polare armonica  $s$  del punto  $S$  rispetto al trilatero ( $b_i$ ) degli assi delle  $\Omega_i$ . Si dimostra che, *se i tre centri  $A_i$  non sono allineati, le  $\Omega_i$  sono armoniche solo se i tre loro assi  $b_i$  passano per il punto  $R$  e, dualmente, se i loro tre assi  $b_i$  non sono concorrenti, le  $\Omega_i$  sono armoniche solo se i loro centri  $A_i$  appartengono alla retta  $s$*  (nn. 6, 9). Ciò caratterizza i due tipi di terne di omologie  $\Omega_i$  in posizione omologica non banale (puntuale e, contemporaneamente, radiale) rispettivamente con i centri non allineati oppure con gli assi non concorrenti.

Può infine accadere che contemporaneamente *i centri delle  $\Omega_i$  siano allineati* (su di una retta  $r$ ), *e gli assi concorrenti* (in un punto  $R$ ). Allora (se  $R$  ed  $r$  non si appartengono) *la posizione omologica si ha solo quando le  $\Omega_i$  sono involutorie* (e quindi è contemporaneamente radiale e puntuale) *e quando con una omografia la loro configurazione si può trasformare*

*in quella delle tre simmetrie ortogonali rispetto alle altezze di un triangolo equilatero* (nn. 22, 23, 24).

Si noti che la posizione omologica, ad es. puntuale, diviene meno espressiva quando gli assi delle  $\Omega_i$  concorrono, ma non svanisce, rimanendo vincolante la condizione che siano allineate le intersezioni con gli assi  $b_i$  dei lati del triangolo  $P_1P_2P_3$  opposti ai vertici  $P_i$ . Dualmente per la posizione omologica radiale, quando sono allineati i centri delle  $\Omega_i$ .

\* \* \*

Gli enunciati precedenti danno una *caratterizzazione proiettiva* delle terne di omologie in posizione omologica radiale o puntuale non banale. Risulta così che di fronte al gruppo delle omografie del piano vi sono  $\infty^3$  *tipi distinti* di terne di omologie in posizione omologica puntuale, le cui inverse sono in posizione omologica radiale. Indichiamo con  $W$  questa varietà  $\infty^3$  di tipi omograficamente distinti di terne di omologie  $\Omega_i$ .

Ogni reciprocità del piano induce la stessa corrispondenza biunivoca ed involutoria della  $W$  in se. Se  $P$  e  $P'$  sono due generici punti corrispondenti nella  $R$  (generici nel senso che le terne di omologie  $\Omega_i$  di cui  $P$  è l'immagine hanno i centri non allineati e gli assi non concorrenti), le omologie delle terne aventi per immagine  $P'$  sono le inverse di quelle delle terne aventi per immagine il punto  $P$  (n. 8).

La varietà  $W$  contiene due sottovarietà  $\infty^2$ ,  $V$  e  $V'$ : una di terne omograficamente distinte di omologie in posizione omologica radiale con i centri non allineati e gli assi concorrenti, le cui inverse sono in posizione omologica puntuale; l'altra di terne omograficamente distinte di omologie in posizione omologica puntuale con gli assi non concorrenti ed i centri allineati, le cui inverse sono in posizione omologica radiale. La  $V$  e la  $V'$  sono mutate una nell'altra dalla  $R$ .

Il punto  $A$  di  $V$ , immagine delle terne di omologie *armoniche* in posizione omologica con i centri non allineati è trasformato dalla  $R$  nel punto  $A'$  di  $V'$  immagine delle terne di omologie armoniche in posizione omologica con gli assi non concorrenti.

La  $R$  lascia unito il punto  $B$  comune a  $V$  e  $V'$  ed immagine delle terne di omologie armoniche in posizione omologica con gli assi concorrenti ed i centri allineati.

\* \* \*

Per ciascuno dei tipi omograficamente distinti di terne di omologie in posizione omologica radiale o puntuale è interessante assegnare uno o più particolari *modelli metrici*, ad es. come si è già fatto sopra per quelle la cui immagine sulla  $W$  è il punto  $B$  comune a  $V$  e a  $V'$ .

Come modello metrico delle terne aventi per immagine il punto  $A'$  della  $V'$  si può assumere (n. 9) la *terna delle simmetrie rispetto ai lati di un triangolo equilatero*, dal quale ha preso l'avvio questa ricerca.

Per il caso duale (punto  $A$  della  $V$ ) si possono prendere le tre *omologie armoniche aventi per centri i vertici di un triangolo equilatero e per assi le parallele ai lati opposti per il suo centro* (n. 9).

Tanto in questo caso come nei precedenti le particolarità metriche dei modelli permettono non solo di enunciare dei teoremi abbastanza notevoli di geometria del triangolo, ma anche di scoprire altre proprietà proiettive della posizione omologica. Si confrontino ad es. gli enunciati e le figure dei nn. 9, 24.

\* \* \*

Per la ricerca di convenienti modelli metrici del caso generale si premettono (nn. 10, 11) alcune considerazioni sulla cubica  $\Gamma$  luogo dei punti  $P$  i cui omologhi  $P_i$  in una *qualsiasi* terna di omologie  $\Omega_i$  (anche non in posizione omologica) sono allineati. Questa cubica  $\Gamma$  si spezza in una conica  $\gamma$  circoscritta al triangolo degli assi delle  $\Omega_i$  e in una retta  $r$  quando i loro centri sono allineati su  $r$ . Trasformando con una omografia  $r$  nella retta impropria e  $\gamma$  in un circolo si ritrova una nota<sup>2)</sup> generalizzazione di PONCELET del teorema

---

<sup>2)</sup> Cfr. I. V. PONCELET, *Traité des propriétés projectives des figures*, Vol. I, 2<sup>a</sup> éd. (Paris, 1865), p. 261.

di R. Simson <sup>3)</sup> sull'allineamento delle proiezioni ortogonali sui lati di un triangolo di un punto del circolo circoscritto. Anche il teorema duale è suscettibile di una interessante particolarizzazione metrica (n. 11).

Nel caso di tre  $\Omega_i$  in posizione omologica puntuale, fissati il triangolo non degenere  $(B_i) = (b_i)$  dei loro assi ed il centro  $S$  e l'asse  $r$  di omologia col triangolo  $(A_i)$  dei loro centri, la scelta della posizione di uno dei centri  $A_i$  sulla retta  $s_i = SB_i$  determina la posizione degli altri due, e quindi le stesse  $\Omega_i$  e la cubica  $\Gamma$ . Si riconosce (n. 12) che, *al variare di  $A_i$  su  $s_i$ ,  $\Gamma$  varia nel fascio individuato dalla cubica spezzata nei tre assi  $b_i$  e dall'altra spezzata nella retta  $r$  e nella conica  $\Gamma_2$  trasformata di  $r$  nella involuzione quadratica col triangolo fondamentale  $B_1B_2B_3$  ed il punto  $S$  unito. La cubica  $\Gamma$  si spezza nella retta  $r$  e nella conica  $\Gamma_2$  solo se i tre centri  $A_i$  delle  $\Omega_i$  sono allineati (su  $r$ ). Solo se  $r$  ed  $S$  si appartengono la conica  $\Gamma_2$  tocca la retta  $r$  (n. 14). Detti  $s'_i$  i lati del triangolo  $(S_i)$ , su  $r$  la involuzione  $I$  dei punti coniugati rispetto a  $\Gamma_2$  è quella cui appartengono le tre coppie di punti segate dalle tre coppie di rette  $s_i, s'_i$  (n. 14).*

Osservazioni duali valgono ovviamente per il caso duale di tre omologie (ad es. le  $\Omega_i^{-1}$ ) in posizione omologica radiale col triangolo dei centri non degenere e per l'involuppo di 3<sup>a</sup> classe  $\Gamma$  delle rette le cui tre omologhe concorrono in un punto.

*Quando  $\Gamma$  si spezza nella retta  $r$  e nella conica  $\Gamma_2$  (ossia quando i centri  $A_i$  delle  $\Omega_i$  sono allineati sulla retta  $r$ ) allora l'involuppo  $\bar{\Gamma}$  relativo alle  $\Omega_i^{-1}$  si spezza nei tre fasci di rette aventi per centro il punto  $S$  ed i punti  $M', N'$  di  $r$  comuni omologhi nelle  $\Omega_i$  dei punti  $M, N$  di intersezione di  $\Gamma_2$  con  $r$ . È dualmente (n. 17).*

La costruzione dei punti  $M', N'$  si ricollega (n. 18) ad alcuni teoremi della teoria delle coniche, un atteggiamento metrico

---

<sup>3)</sup> Cfr. V. RETALI e G. BIGGIOGGERO, *La geometria del triangolo*, p. 180<sup>ss</sup> [in *Enciclop. delle Matem. Elementari* (Milano, Hoepli, 1937), vol. II, P. I].

dei quali riguarda eleganti proprietà del *circolo dei nove punti* <sup>4)</sup>.

Si perviene così (n. 19) alla seguente caratterizzazione proiettiva dei legami che intercorrono tra la conica  $\Gamma_2$  e la configurazione dei centri e degli assi delle  $\Omega_i$ , in posizione omologica puntuale:

*Fissata la conica  $\Gamma_2$  e, su di essa, i punti  $B_i$  e quelli  $M, N$ , siano  $\bar{I}$  il polo della retta  $r = MN$  e  $B'_i$  i vertici del trilatero circoscritto a  $\Gamma_2$  nei punti  $B_i$ . Le rette  $\bar{I}B'_i$  segano  $\Gamma_2$  in tre coppie di punti  $C_i, C'_i$ . Le tre coppie di rette  $B_iC_i, B_iC'_i$  sono lati opposti di uno stesso quadrangolo piano completo. Solamente uno (qualsiasi) dei suoi quattro vertici può assumersi come centro  $S$  della omologia di asse  $r$  che lega il trilatero  $(b_i) = (B_i)$  degli assi al triangolo  $(A_i)$  dei centri delle  $\Omega_i$ , che restano completamente determinate dalla successiva scelta di uno dei vertici  $A_i$  sulla  $SB_i$ .*

\* \* \*

I teoremi ora ricordati, assieme ai loro duali, permettono di costruire diversi *modelli metrici reali della totalità  $\infty^3$  delle terne omograficamente distinte di omologie in posizione omologica*.

Così (n. 15) per il caso che  $r$  ed  $S$  si appartengano è sufficiente trasformare  $r$  nella retta impropria. Si ottengono eleganti teoremi di geometria elementare, di cui basterà qui segnalare quello illustrato dalla fig. 17 che esprime *essere concorrenti le rette congiungenti i vertici  $B_i$  di un triangolo con i simmetrici rispetto ad un punto  $P$  delle intersezioni  $Q_i$  dei suoi lati  $b_i$  con una retta arbitraria per  $P$* .

Nel caso (n. 16) che  $r$  ed  $S$  non si appartengano, la  $I$  sia ellittica e gli assi  $b_i$  non concorrenti, si può trasformare  $r$  nella retta impropria,  $\Gamma_2$  nel circolo circoscritto al triangolo  $(B_i)$  degli assi ed  $S$  nel centro di uno dei circoli ad esso *inscritti*.

---

<sup>4)</sup> Cfr. il n. 13 dell'articolo di V. RETALI e G. BIGGIOGEBBO citato sopra in <sup>3)</sup>.

La figura resta determinata a meno di una similitudine ed il modello resta valido anche nel caso limite che i centri siano allineati (sulla retta impropria).

Nello stesso caso, supposta però  $I$  iperbolica, un modello metrico reale si può ottenere (n. 19) scegliendo come conica  $\Gamma_2$  un circolo e ad es. fissando su di esso i vertici  $B_i$  del triangolo degli assi. Allora la figura resta determinata ed  $M$ ,  $N$  debbono appartenere entrambi ad uno degli archi  $B_k B_l$  non contenenti  $B_i$ . Anche ora il modello resta valido nel caso limite che i centri  $A_i$  siano allineati.

Sempre nel caso che  $r$  ed  $S$  non si appartengano, ma supposti i centri non allineati, modelli metrici reali validi anche nel caso che gli assi siano concorrenti si ottengono (n. 20) fissando come conica (inviluppo)  $\bar{\Gamma}_2$  un circolo e come triangolo ( $A_i$ ) dei centri un triangolo ad esso circoscritto. La figura resta così determinata e se la involuzione  $I^*$  (duale della  $I$ ) è iperbolica,  $S$  risulta esterno al circolo ed interno a quella contenente il circolo delle quattro regioni triangolari individuate nel piano ampliato dalle tre rette  $a_i$ .

Se invece  $I^*$  è ellittica  $S$  risulta interno a  $\bar{\Gamma}_2$ .

In questo caso si può anche (n. 21) trasformare con una omografia reale  $r$  nella retta impropria e le tangenti a  $\bar{\Gamma}_2$  uscenti da  $S$  nelle rette isotrope. Allora la figura resta determinata a meno di una similitudine ed il triangolo dei centri ( $A_i$ ) diviene un qualsiasi triangolo non degenerare di cui  $S$  è il circocentro.  $\bar{\Gamma}_2$  è la conica inscritta in ( $A_i$ ) col fuoco in  $S$ . Gli assi possono essere anche concorrenti.

Inutile dire che anche in tutti questi casi e nei loro casi limite la posizione omologica delle  $\Omega_i$  fornisce altrettanti teoremi di geometria del triangolo.

D'altra parte il particolare atteggiamento metrico spesso consente di intuire prima e di dimostrare poi altre proprietà proiettive della posizione omologica.

\* \* \*

Avvertiamo il Lettore che alla fine della Memoria si trova un indice del testo ed un indice delle figure.

## CAP. I.

### LA POSIZIONE OMOLOGICA NON BANALE, NEL CASO CHE NON SIANO CONTEMPORANEAMENTE ALLINEATI I CENTRI E CONCORRENTI GLI ASSI

#### 1. - Premesse algoritmiche.

Fissato nel piano un riferimento proiettivo con i punti fondamentali  $A_1, A_2, A_3$ , una qualsiasi omologia non degenera  $\Omega_1$  col centro in  $A_1 = (1, 0, 0)$  si rappresenta con una sostituzione lineare del tipo:

$$(1.1) \quad y_1 : y_2 : y_3 = (a_1x_1 + a_2x_2 + a_3x_3) : x_2 : x_3,$$

dove  $x_1x_2x_3, y_1y_2y_3$  sono le coordinate omogenee di due punti corrispondenti ( $x \rightarrow y$ ); oppure, nelle coordinate di due rette corrispondenti ( $u \rightarrow v$ ):

$$(1.2) \quad v_1 : v_2 : v_3 = u_1 : (-a_2u_1 + a_1u_2) : (-a_3u_1 + a_1u_3).$$

L'asse  $b_1$  della  $\Omega_1$  ha le coordinate:

$$b_{11} : b_{12} : b_{13} = (a_1 - 1) : a_2 : a_3,$$

cosicchè, volendole porre in evidenza, le (1.2) si scrivono:

$$(1.3) \quad v_1 : v_2 : v_3 = u_1 : \{-b_{12}u_1 + (1+b_{11})u_2\} : \{-b_{13}u_1 + (1+b_{11})u_3\}.$$

Ovviamente, la  $\Omega_1$  risulterà speciale o non speciale secondo che sia  $b_{11} = 0$ , oppure  $b_{11} \neq 0$ .

Se non speciale, la sua caratteristica puntuale è:

$$k_1 = b_{11} + 1,$$

cosicchè la  $\Omega_1$  sarà armonica se  $b_{11} = -2$ .

Si noti che nelle (1.3) figura una particolare delle  $\infty^1$  terne proporzionali di coordinate omogenee  $b_{11}b_{12}b_{13}$  dell'asse  $b_1$  della  $\Omega_1$ . Al variare del fattore comune, a meno del quale le  $b_{1k}$  sono determinate, le (1.3) possono rappresentare tutte le omologie  $\Omega_1$  di asse  $b_1$  e centro  $A_1$ .

Poichè la intersezione  $R_1$  della retta  $b_1 = (b_{11}, b_{12}, b_{13})$  col lato  $a_1 = (1, 0, 0)$  del triangolo fondamentale ha le coordinate:

$$x_1 : x_2 : x_3 = 0 : -b_{13} : b_{12},$$

tenendo presenti le analoghe espressioni delle coordinate dei punti  $R_2 = b_2 \cdot a_2$ ,  $R_3 = b_3 \cdot a_3$ , si ha che la condizione di omologia dei due trilateri  $b_1b_2b_3$  ed  $a_1a_2a_3$  si scrive:

$$(1.4) \quad \begin{vmatrix} 0 & -b_{13} & b_{12} \\ -b_{23} & 0 & b_{21} \\ -b_{32} & b_{31} & 0 \end{vmatrix} = b_{13}b_{21}b_{32} - b_{12}b_{23}b_{31} = 0.$$

**2. - Condizione necessaria per la posizione omologica radiale o puntuale.**

Siano date tre omologie  $\Omega_1\Omega_2\Omega_3$ , di centri  $A_1A_2A_3$  non allineati, e siano  $b_1, b_2, b_3$  i loro assi ( $b_i = (b_{i1}, b_{i2}, b_{i3})$ ).

Assunti i punti  $A_1A_2A_3$  come vertici del triangolo fondamentale delle coordinate proiettive, le coordinate delle tre rette  $g_1, g_2, g_3$  corrispondenti nelle  $\Omega_i$  ad una medesima retta  $g (u_1u_2u_3)$ , a norma della (1.3) e delle analoghe, saranno date dalle:

$$(2.1) \quad \begin{cases} v_{11} : v_{12} : v_{13} = u_1 : \{-b_{12}u_1 + (1+b_{11})u_2\} : \{-b_{13}u_1 + (1+b_{11})u_3\}, \\ v_{21} : v_{22} : v_{23} = \{-b_{21}u_2 + (1+b_{22})u_1\} : u_2 : \{-b_{23}u_2 + (1+b_{22})u_3\}, \\ v_{31} : v_{32} : v_{33} = \{-b_{31}u_3 + (1+b_{33})u_1\} : \{-b_{32}u_3 + (1+b_{33})u_2\} : u_3. \end{cases}$$

Pertanto, affinchè il trilatero  $g_1g_2g_3$  risulti omologico a quello  $a_1a_2a_3$  comunque si scelga la retta  $g$ , ossia, come diremo per brevità, affinchè le tre omologie  $\Omega_1\Omega_2\Omega_3$  siano « in posizione omologica radiale », occorre e basta che sia, identicamente rispetto alle variabili  $u_1u_2u_3$ :

$$v_{13}v_{21}v_{32} - v_{12}v_{23}v_{31} \equiv 0,$$

ossia:

$$(2.2) \left\{ \begin{array}{l} \{ -b_{13}u_1 + (1 + b_{11})u_3 \} \cdot \{ -b_{21}u_2 + (1 + b_{22})u_1 \} \cdot \\ \cdot \{ -b_{32}u_3 + (1 + b_{33})u_2 \} - \{ -b_{12}u_1 + (1 + b_{11})u_2 \} \cdot \\ \cdot \{ -b_{23}u_2 + (1 + b_{22})u_3 \} \cdot \{ -b_{31}u_3 + (1 + b_{33})u_1 \} \equiv 0 . \end{array} \right.$$

Annullando il coefficiente del termine  $u_1u_2u_3$  nel 1° membro della (2.3), si ha:

$$(2.3) \quad b_{13}b_{21}b_{32} - b_{12}b_{23}b_{31} = 0 .$$

Dunque intanto, come vuole la (1.4), *i due trilateri  $a_1a_2a_3$  e  $b_1b_2b_3$  debbono essere omologici*.

Si osservi subito che, essendo autoduale la configurazione delle coppie di elementi (punti e rette) corrispondenti in una omologia, e scambiandosi per dualità il centro con l'asse, alla stessa condizione autoduale ora trovata di omologia del triangolo dei centri delle  $\Omega_i$  con quello dei loro assi, saremmo pervenuti anche imponendo la condizione duale che il triangolo  $P_1P_2P_3$  dei punti corrispondenti nelle  $\Omega_i$  ad un medesimo punto  $P$  dovesse sempre risultare omologico a quello  $B_1B_2B_3$  (supposto non degenere) dei loro assi  $b_1b_2b_3$  ( $B_i = b_k \cdot b_l$ ), ossia, come diremo in seguito per brevità, che le tre omologie  $\Omega_1\Omega_2\Omega_3$  fossero « *in posizione omologica puntuale* ». Dunque:

*Condizione necessaria affinché tre omologie si trovino in posizione omologica radiale o puntuale è che il triangolo dei loro centri sia omologico a quello dei loro assi.*

Si osservi anche che la (2.2) è identicamente soddisfatta se:

$$b_{12} = b_{13} = b_{23} = b_{21} = b_{31} = b_{32} = 0 ,$$

ossia se l'asse di ognuna delle  $\Omega_i$  coincide con la congiungente i centri delle altre due, cioè *se il triangolo degli assi delle  $\Omega_i$  coincide con quello dei loro centri*. Ciò era evidente a priori, essendo in ogni terna di omologie il trilatero degli assi omologico a quello delle rette corrispondenti ad una generica retta  $g$ . E dualmente.

Si potrà pertanto escludere questo *caso banale* di contemporanea omologia radiale e puntuale dalle considerazioni successive.

**3. - La retta  $r$  non contiene i centri; il punto  $S$  non appartiene agli assi.**

Annullando i coefficienti degli altri monomi:

$$u_1u_2^2, u_1u_3^2; u_2u_3^2, u_2u_1^2; u_3u_1^2, u_3u_2^2;$$

che compaiono nel 1° membro della (2.2), e tenendo presente che, essendo le  $\Omega_i$  non degeneri, si deve avere:

$$(3.1) \quad (1 + b_{11})(1 + b_{22})(1 + b_{33}) \neq 0,$$

si ottiene:

$$(3.2) \quad \begin{cases} b_{13}b_{21} + (1 + b_{11})b_{23} = 0 \\ b_{12}b_{31} + (1 + b_{11})b_{32} = 0 \end{cases}$$

$$(3.3) \quad \begin{cases} b_{21}b_{32} + (1 + b_{22})b_{31} = 0 \\ b_{23}b_{12} + (1 + b_{22})b_{13} = 0 \end{cases}$$

$$(3.4) \quad \begin{cases} b_{32}b_{13} + (1 + b_{33})b_{12} = 0 \\ b_{31}b_{23} + (1 + b_{33})b_{21} = 0. \end{cases}$$

Si osservi anzitutto che la (2.3) è la condizione di risolubilità dei tre sistemi (3.2), (3.3), (3.4) nelle rispettive incognite  $(1 + b_{11})$ ,  $(1 + b_{22})$ ,  $(1 + b_{33})$  e che, a causa della (3.1), nessuna delle sei quantità

$$b_{12}, b_{13}, b_{23}, b_{21}, b_{31}, b_{32}$$

può annullarsi, senza che si annullino contemporaneamente le altre cinque. In altre parole:

*Nessuno degli assi di tre omologie in posizione omologica radiale può passare per uno dei centri delle altre due, a meno che l'asse di ognuna delle  $\Omega_i$  non coincida con la congiungente i centri delle altre due. E dualmente.*

E poichè questo caso banale è stato già considerato ed escluso, possiamo senz'altro supporre:

$$(3.5) \quad b_{12} b_{13} b_{23} b_{21} b_{31} b_{32} \neq 0,$$

ossia affermare che:

*L'asse  $r$  di omologia dei due trilateri  $a_1a_2a_3$ ,  $b_1b_2b_3$  non passa per alcuno dei punti  $A_1A_2A_3$ .*

Si noti che non è escluso che il trilatero  $b_1b_2b_3$  degeneri, cioè che gli assi delle tre  $\Omega_i$  passino per un medesimo punto ed eventualmente coincidano.

Dualmente, partendo dagli assi  $b_1b_2b_3$  non concorrenti di tre omologie  $\Omega_1\Omega_2\Omega_3$  in posizione omologica puntuale non banale, si avrà che:

*Il centro di omologia dei due triangoli  $B_1B_2B_3$ ,  $A_1A_2A_3$  non appartiene ad alcuna delle tre rette  $b_1b_2b_3$ , non essendo escluso che degeneri il triangolo  $A_1A_2A_3$ , ossia che i centri delle tre  $\Omega_i$  siano allineati o addirittura coincidano.*

#### 4. - Condizioni sufficienti e determinazione della posizione omologica.

Si può dunque assumere la retta  $r$  come retta unità del riferimento proiettivo  $A_1A_2A_3$ , e con ciò si dovrà avere:

$$(4.1) \quad \frac{b_{12}}{b_{13}} = \frac{b_{23}}{b_{21}} = \frac{b_{31}}{b_{32}} = 1.$$

Sarà quindi lecito porre:

$$(4.2) \quad b_{12} = b_{13} = -k_1, \quad b_{23} = b_{21} = -k_2, \quad b_{31} = b_{32} = -k_3,$$

essendo, per le (3.5):

$$(4.3) \quad k_1 k_2 k_3 \neq 0, \infty.$$

Dopo di che le (3.2) (3.3) (3.4) si trasformano nelle equivalenti:

$$(4.4) \quad \left\{ \begin{array}{l} k_1 = 1 + b_{11} \\ k_2 = 1 + b_{22} \\ k_3 = 1 + b_{33} \end{array} \right.$$

e le equazioni (2.1) delle  $\Omega_i$  divengono:

$$(4.5) \quad \left\{ \begin{array}{l} v_{11} : v_{12} : v_{13} = u_1 : k_1(u_1 + u_2) : k_1(u_1 + u_3) \\ v_{21} : v_{22} : v_{23} = k_2(u_1 + u_2) : u_2 : k_2(u_2 + u_3) \\ v_{31} : v_{32} : v_{33} = k_3(u_1 + u_3) : k_3(u_2 + u_3) : u_3, \end{array} \right.$$

mentre le equazioni dei rispettivi assi si scrivono:

$$(4.6) \quad \left\{ \begin{array}{l} x_1 + k_1(-x_1 + x_2 + x_3) = 0 \\ x_2 + k_2(x_1 - x_2 + x_3) = 0 \\ x_3 + k_3(x_1 + x_2 - x_3) = 0. \end{array} \right.$$

Si osservi che al variare di  $k_i$ , la  $i$ -esima delle (4.6) può rappresentare ogni retta del fascio avente per centro il punto

$$R_i = r \cdot a_i = r \cdot A_k A_l \quad (i \neq k \neq l = 1, 2, 3),$$

restando escluse per la (4.3) solo la stessa retta  $a_i$  ( $k_i = 0$ ) e la retta  $r_i$  ( $k_i = \infty$ ) coniugata armonica della retta  $r$  rispetto alle due rette  $a_i$  ed  $R_i A_i$ .

D'altra parte, comunque si scelga  $k_i$  ( $\neq 0, \infty$ ), risulta dalle (4.5) che nella  $\Omega_i$  alla retta  $r_i$  (congiungente i punti  $u_i + u_k = 0$ ,  $u_i + u_l = 0$  ( $i \neq k \neq l$ )) corrisponde sempre il lato  $a_i$  del triangolo fondamentale. Dunque (v. fig. 1):

*Fissato il triangolo (non degenero) dei centri  $A_1 A_2 A_3$  e il suo asse  $r$  di omologia con quello (eventualmente anche degenero) degli assi, in modo che i tre punti  $R_i = a_i \cdot r$  siano distinti, gli assi  $b_i$  delle tre omologie  $\Omega_i$  in posizione omologica radiale si possono scegliere ad arbitrio per i rispettivi punti  $R_i$ , purchè distinti dalle rispettive  $r_i$  e dalle  $a_i$  (se si vuole evitare il caso banale). Fatta questa scelta le  $\Omega_i$  restano determinate in quanto in ognuna di esse alla retta  $r_i$  deve sempre corrispondere la retta  $a_i$ .*

E dualmente:

*Fissato il trilatero (non degenero) degli assi  $b_1 b_2 b_3$  ed il suo centro  $S$  di omologia con quello (eventualmente anche degenero) dei centri, in modo che le rette  $s_i = B_i S$  siano distinte, i centri  $A_i$  delle tre omologie  $\Omega_i$  in posizione omologica*

puntuale si possono scegliere ad arbitrio sulle rispettive rette  $s_i$ , purchè distinti dai rispettivi punti  $S_i$  (coniugati armonici del punto  $S$  rispetto ai due punti  $B_i$  ed  $s_i \cdot b_i$ ) e da quelli  $B_i$

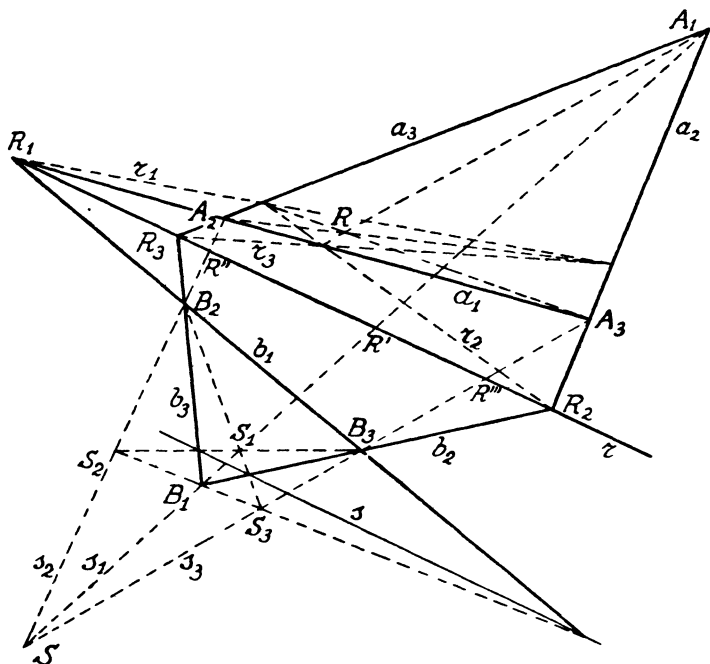


Fig. 1.

(se si vuole evitare il caso banale). Fatta questa scelta le  $\Omega_i$  restano determinate, in quanto in ognuna di esse al punto  $S_i$  deve sempre corrispondere il punto  $B_i$ .

## 5. - Relazioni tra la posizione omologica e la trilinearità.

Date tre omologie  $\Omega_i$  di assi distinti e non concorrenti  $b_i$ , sia  $S_i$  il punto cui nella  $\Omega_i$  corrisponde  $B_i = b_k \cdot b_l$  ( $i \neq k \neq l = 1, 2, 3$ ) e sia  $T$  la « trilinearità concorrente »<sup>5)</sup>

<sup>5)</sup> Cfr. E. MORGANTINI, *Teoria delle corrispondenze trilineari tra forme di prima specie.* (Rend. Sem. Matem. Padova, IX (1938), pp. 1-121) nn. 64, 67.

fra i tre fasci  $S_i$ . Riferendo prospettivamente ciascuno dei fasci  $S_i$  al fascio  $B_i$  con l'asse di prospettiva  $b_i$ , si ottiene una trilinearità  $T'$  tra i fasci  $B_i$ , riferita terna per terna alla  $T$ .

Si osservi che alla terna di rette dei fasci  $S_i$  proiettanti un punto  $P$  del piano e quindi corrispondentesi nella  $T$ , corrisponde nel riferimento suddetto la terna delle rette (corrispondenti in  $T'$ ) omologhe delle precedenti nelle  $\Omega_i$ , ossia proprio quelle che dai punti  $B_i$  proiettano i punti  $P_i$  omologhi di  $P$  nelle  $\Omega_i$ . Dunque per la posizione omologica puntuale delle  $\Omega_i$  occorre e basta che questa terna sia di rette concorrenti<sup>6)</sup>, cioè che sia concorrente anche la trilinearità  $T'$ . Da quanto precede risulta allora che:

*Dato un triangolo non degenere  $B_1B_2B_3$ , condizioni necessarie e sufficienti affinché sia concorrente la trilinearità  $T$  fra tre fasci  $S_i$ , ottenuta da quella concorrente  $T'$  tra i fasci  $B_i$  riferendo prospettivamente ciascun fascio  $S_i$  a quello  $B_i$ , con l'asse di prospettiva  $b_i = B_kB_l$  ( $i \neq k \neq l = 1, 2, 3$ ), sono:*

- 1) che le rette  $s_i = B_iS_i$  concorrano in un punto  $S$  (ossia che i due triangoli  $(B_i)$  ed  $(S_i)$  siano omologici);
- 2) che ciascuno dei punti  $S_i$  sia il coniugato armonico di  $S$  rispetto alla coppia di punti  $B_i$ ,  $(b_i \cdot s_i)$  (cosicchè il triangolo  $(S_i)$  risulta anche circoscritto a quello  $(B_i)$ ).

Dualmente:

*Dato un trilatERO non degenere  $a_1a_2a_3$ , condizioni necessarie e sufficienti affinché sia allineata la trilinearità  $\bar{T}$  fra tre punteggiate  $r_1r_2r_3$ , ottenuta da quella allineata  $\bar{T}'$  fra le punteggiate  $a_i$  riferendo prospettivamente ciascuna  $r_i$  alla  $a_i$  col centro di prospettiva  $A_i = a_k \cdot a_l$  ( $i \neq k \neq l = 1, 2, 3$ ), sono:*

- 1) che i punti  $R_i = a_i \cdot r_i$  siano allineati su di una retta  $r$  (cioè che siano omologici i due trilateri  $(a_i)$  ed  $(r_i)$ );
- 2) che ciascuna delle rette  $r_i$  sia la coniugata armonica

---

<sup>6)</sup> In un punto  $P'$ , variabile con  $P$  e suo trasformato in una trasformazione quadratica coi triangoli fondamentali  $(S_i)$  e  $(B_i)$ .

di  $r$  rispetto alla coppia di rette  $a_i, A_i R_i$  (cosicchè il trilatero ( $r_i$ ) risulta anche inscritto in quello ( $a_i$ )).

Si confronti ad es. la fig. 16 del n. 15, dove  $r$  ed  $S$  sono impropri.

## 6. - Caso speciale e caso involutorio.

In particolare, dalle (4.5) risulta che:

*Se è speciale una delle tre  $\Omega_i$  in posizione omologica radiale (cioè se  $k_i = 1$ ) allora in essa alla retta  $a_i$  corrisponde la  $r$ , e quindi, dualmente:*

*Se una delle tre  $\Omega_i$  in posizione omologica puntuale è speciale, in essa al punto  $B_i$  corrisponde il punto  $S$ .*

La fig. 2 mette in evidenza il particolare aspetto affine che assume la configurazione degli assi e dei centri di una terna di omologie speciali  $\Omega_i$  in posizione omologica, quando con una omografia si sia trasformata la retta  $r$  nella retta impropria <sup>7)</sup>.

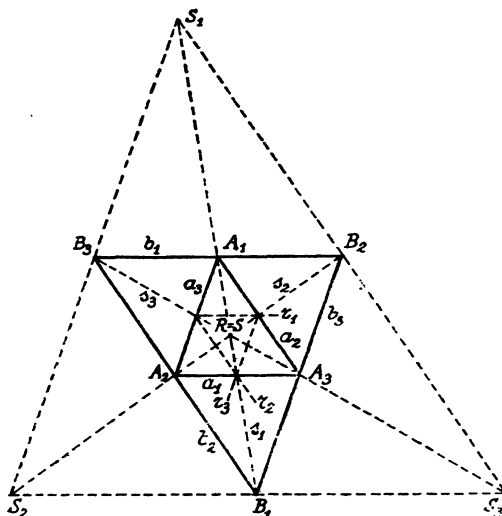


FIG. 2.

<sup>7)</sup> Se ne deduce in particolare che: le tre omologie speciali  $\Omega_i$  aventi per assi i lati di un triangolo ( $B_i$ ), per centri i loro punti medi  $A_i$  e nelle quali alla retta  $a_i = A_k A_l$  ( $i \neq k \neq l = 1, 2, 3$ ) corrisponde la retta impropria, sono in posizione omologica radiale. Inoltre (nn. 7, 8): le loro inverse sono in posizione omologica puntuale.

Inoltre le (4.6) mostrano che:

*Una delle tre  $\Omega_i$  in posizione omologica radiale è involutoria ( $k_i = -1$ ) solo se il rispettivo asse passa per il punto  $R$ , polo armonico di  $r$  rispetto al triangolo  $A_1A_2A_3$ , cosicchè dualmente:*

*Una delle tre  $\Omega_i$  in posizione omologica puntuale è involutoria solo se il rispettivo centro appartiene alla retta  $s$  polare armonica di  $S$  rispetto al trilatero  $b_1b_2b_3$ .*

Dunque (v. fig. 3):

*Tre omologie involutorie  $\Omega_i$  con i centri  $A_i$  non allineati sono in posizione omologica radiale non banale solo se i loro assi  $b_i$  incontrano i lati  $a_i$  del triangolo dei centri in punti  $R_i$  distinti dai vertici ed allineati su di una retta  $r$  e concorrono nel polo armonico  $R$  di  $r$  rispetto al triangolo  $A_1A_2A_3$  dei centri.*

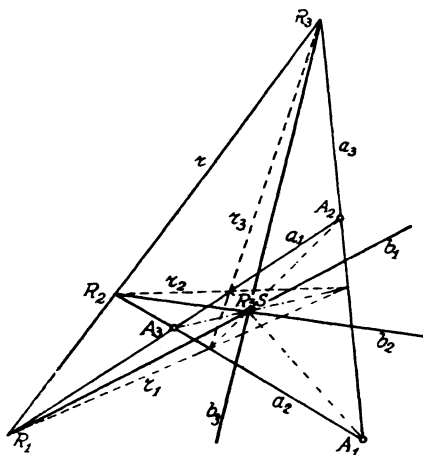


Fig. 3.

Dualmente (v. fig. 4):

*Tre omologie involutorie  $\Omega_i$  con gli assi  $b_i$  non concorrenti sono in posizione omologica puntuale non banale solo se loro centri  $A_i$  sono congiunti ai vertici  $B_i$  del trilatero degli assi da rette  $s_i$  distinte dai lati e concorrenti in un punto  $S$  e sono allineati sulla retta  $s$  polare armonica di  $S$  rispetto al trilatero  $b_1b_2b_3$ .*

Come particolare aspetto metrico di quest'ultima confi-

gurazione si ottiene, trasformando con una omografia il triangolo  $B_1B_2B_3$  in un triangolo equilatero ed  $S$  nel suo centro, il teorema citato nella introduzione sulla posizione omologica puntuale delle simmetria ortogonali rispetto ai lati di un triangolo equilatero.

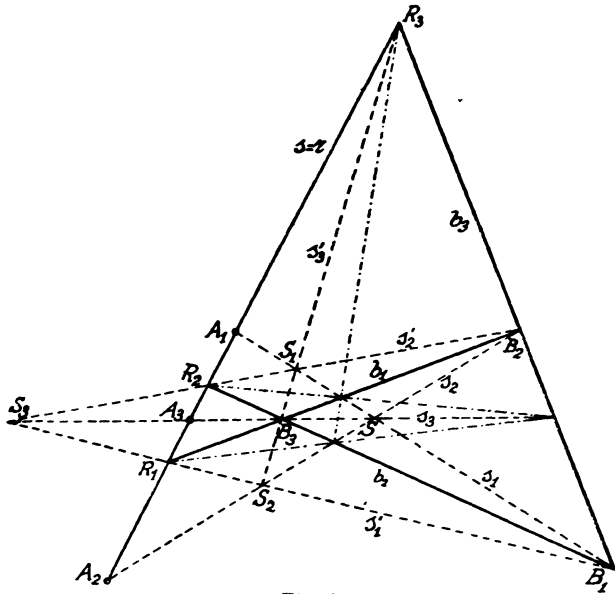


Fig. 4.

**7. - Simultaneità della posizione omologica radiale diretta e puntuale inversa.**

Dalla (4.6) risulta che la condizione affinché i tre assi  $b_1b_2b_3$  concorrano in un punto si scrive:

$$(7.1) \quad K \equiv 4k_1k_2k_3 - k_1 - k_2 - k_3 + 1 = 0$$

e che le coordinate dei punti  $B_1, B_2, B_3$  sono rispettivamente:

$$(7.2) \quad \begin{cases} k_2 + k_3 - 1 : k_2(1 - 2k_3) : k_3(1 - 2k_2) \\ k_1(1 - 2k_3) : k_3 + k_1 - 1 : k_3(1 - 2k_1) \\ k_1(1 - 2k_2) : k_2(1 - 2k_1) : k_1 + k_2 - 1. \end{cases}$$

Cosicchè le coordinate del centro  $S$  d'omologia dei due triangoli  $A_1A_2A_3$ ,  $B_1B_2B_3$  sono:

$$(7.3) \quad \frac{k_1}{2k_1 - 1}, \quad \frac{k_2}{2k_2 - 1}, \quad \frac{k_3}{2k_3 - 1},$$

supposto naturalmente che gli assi  $b_1b_2b_3$  non coincidano (con la retta  $r$ ), ciò che accade appunto solo quando  $k_1 = k_2 = k_3 = \frac{1}{2}$ .  
Poniamo:

$$(7.4) \quad h_1 = \frac{1}{k_1}, \quad h_2 = \frac{1}{k_2}, \quad h_3 = \frac{1}{k_3}.$$

Allora le (7.3) si scrivono:

$$\frac{1}{2 - h_1}, \quad \frac{1}{2 - h_2}, \quad \frac{1}{2 - h_3}.$$

Tenendo presenti le equazioni (4.6) degli assi  $b_i$  e *supposti* non concorrenti, le formule di trasformazione dal sistema di coordinate proiettive  $A_1A_2A_3R$  a quello  $B_1B_2B_3S$  si scrivono, in coordinate di punto ( $x \rightarrow z$ ):

$$(7.5) \quad \begin{cases} z_1 = (h_1 - 1)x_1 + x_2 + x_3 \\ z_2 = x_1 + (h_2 - 1)x_2 + x_3 \\ z_3 = x_1 + x_2 + (h_3 - 1)x_3. \end{cases}$$

ossia, invertendo ( $z \rightarrow y$ ):

$$(7.6) \quad \begin{cases} y_1 = (h_2h_3 - h_2 - h_3)z_1 + (2 - h_3)z_2 + (2 - h_2)z_3 \\ y_2 = (2 - h_3)z_1 + (h_3h_1 - h_3 - h_1)z_2 + (2 - h_1)z_3 \\ y_3 = (2 - h_2)z_1 + (2 - h_1)z_2 + (h_1h_2 - h_1 - h_2)z_3. \end{cases}$$

D'altra parte, dalle (4.5) si ricava che le equazioni delle inverse delle  $\Omega_i$ , nelle vecchie coordinate di punto, si scrivono:

$$\begin{cases} x_{11} : x_{12} : x_{13} = h_1y_1 + y_2 + y_3 : y_2 : y_3 \\ x_{21} : x_{22} : x_{23} = y_1 : y_1 + h_2y_2 + y_3 : y_3 \\ x_{31} : x_{32} : x_{33} = y_1 : y_2 : y_1 + y_2 + h_3y_3. \end{cases}$$

e quindi, nelle nuove coordinate di punto, a norma delle (7.5), (7.6):

$$\left\{ \begin{array}{l} z_{11}:z_{12}:z_{13} = h_1 z_1:(z_1 + z_2):(z_1 + z_3) \\ z_{21}:z_{22}:z_{23} = (z_2 + z_1):h_2 z_2:(z_2 + z_3) \\ z_{31}:z_{32}:z_{33} = (z_3 + z_1):(z_3 + z_2):h_3 z_3, \end{array} \right.$$

ossia:

$$(7.9) \quad \left\{ \begin{array}{l} z_{11}:z_{12}:z_{13} = z_1:k_1(z_1 + z_2):k_1(z_3 + z_1) \\ z_{21}:z_{22}:z_{23} = k_2(z_1 + z_2):z_2:k_2(z_2 + z_3) \\ z_{31}:z_{32}:z_{33} = k_3(z_3 + z_1):k_3(z_3 + z_2):z_3. \end{array} \right.$$

Confrontando le (7.9) con le (4.5) e tenendo presente che la caratteristica puntuale  $k_i$  delle  $\Omega_i$  coincide con quella radiale delle  $\Omega_i^{-1}$ , si riconosce che:

*Le inverse di tre omologie  $\Omega_1\Omega_2\Omega_3$  con gli assi non concorrenti, i centri non allineati ed in posizione omologica radiale non banale sono in posizione omologica puntuale non banale. E viceversa.*

E ciò, per quanto precede, equivale a dire che *nelle  $\Omega_i$  ai punti  $B_i$  corrispondono i punti  $S_i$ .*

Sarebbe agevole provare che il teorema precedente sulla simultaneità della posizione omologica puntuale (diretta) e radiale (inversa) sussiste anche quando i tre centri delle  $\Omega_i$  sono allineati, oppure i loro assi concorrono.

## 8. - Come sopra, per via sintetica.

Ai risultati conseguiti analiticamente nel n. 7, e sempre nel caso che i tre centri non siano allineati e i tre assi non siano concorrenti, si poteva facilmente pervenire anche per via sintetica, ad es. come segue, nel caso che nessuna delle  $\Omega_i$  sia speciale.

Si tenga presente che condizione necessaria e sufficiente affinché due triangoli non degeneri  $A_1A_2A_3$ ,  $B_1B_2B_3$  siano omologici è che i vertici dell'uno corrispondano ai lati del-

l'altro in una polarità  $\pi$ , nella quale si corrispondono anche il centro  $S$  e l'asse  $r$  di omologia <sup>s)</sup>.

La  $\pi$  scambia il centro  $A_i$  della  $\Omega_i$  col suo asse  $b_i$ . Inoltre una coppia di punti  $P, Q$  allineati con  $A_i$  su una retta  $c$

<sup>s)</sup> Tanto per la necessità quanto per la sufficienza si può dare una giustificazione elementare, trasformando prima omograficamente la figura (com'è lecito) in modo che acquisti particolari proprietà metriche. Così, per la sufficienza, vedi U. MORIN, *Lezioni di Geometria*, P. II (2<sup>a</sup> ed., Padova, CEDAM, 1954) pag. 338.

Per la necessità si osservi anzitutto (vedi fig. 1), usando le stesse notazioni precedenti e dette  $R', R'', R'''$  le intersezioni rispettive dell'asse di omologia  $r$  con le rette  $s_1 s_2 s_3$ , che le coppie di punti  $R_1R', R_2R'', R_3R'''$  si corrispondono in una stessa involuzione  $I$  sulla retta  $r$ .

Quindi si trasformi con una omografia la retta  $r$  nella retta impropria e l'involuzione  $I$  nella involuzione assoluta. Allora la figura resta determinata a meno di una similitudine, i due triangoli  $A_1A_2A_3, B_1B_2B_3$  divengono omotetici e il loro centro di omotetia diviene il comune ortocentro  $S$ . Basta allora far vedere che i vertici dell'uno corrispondono ai lati dell'altro nella polarità relativa ad un determinato circolo  $\Sigma$  di centro  $S$ .

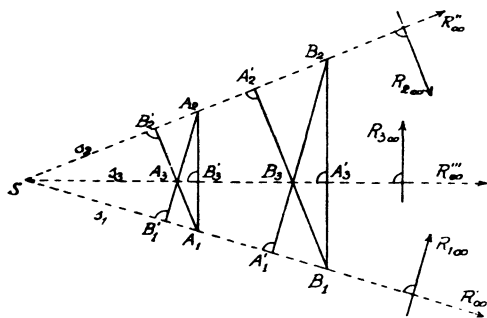


Fig. 5.

Ossia (v. fig. 5), detto  $B'_i$  il piede dell'altezza di  $A_1A_2A_3$  relativa al vertice  $A_i$  ( $i=1, 2, 3$ ) e detto  $A'_i$  il piede dell'altezza di  $B_1B_2B_3$  relativo al vertice  $B_i$ , si tratta di provare che le 6 coppie di punti  $A_iA'_i, B_iB'_i$  ( $i=1, 2, 3$ ) si corrispondono in una medesima inversione di polo  $S$  (il cui circolo fondamentale sarà  $\Sigma$ ). Ossia che:

$$SA_1 \cdot SA'_1 = SB_1 \cdot SB'_1 = SA_2 \cdot SA'_2 = SB_2 \cdot SB'_2 = SA_3 \cdot SA'_3 = SB_3 \cdot SB'_3$$

E ciò consegue facilmente dalle ipotesi fatte (omotetia di  $A_1A_2A_3$  e  $B_1B_2B_3$ , col centro nell'ortocentro comune).

e tali che, detta  $C$  la intersezione della loro congiungente  $c$  con  $b_i$ , sia  $(A_iCPQ) = k_i$ , viene trasformata dalla  $\pi$  in una coppia di rette  $p, q$ , concorrenti in un punto  $C'$  di  $b_i$  e tali che, detta  $c'$  la congiungente  $A_iC'$ , sia  $(b_i c' p q) = k_i$ .

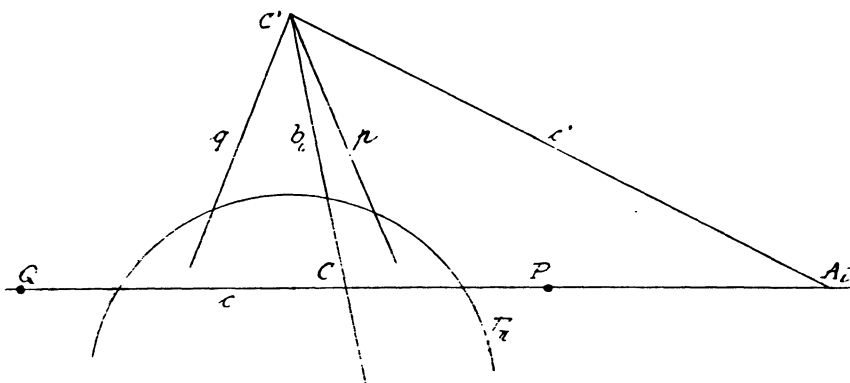


Fig. 6.

Dunque la  $\pi$  trasforma due punti corrispondenti nella  $\Omega_i$  in due rette corrispondenti *nella inversa* della  $\Omega_i$ , e viceversa.

Quindi tre rette  $g_1, g_2, g_3$ , corrispondenti di una stessa retta  $g$  nelle  $\Omega_i$ , sono trasformate dalla  $\pi$  nei tre punti  $P_1^{-1}, P_2^{-1}, P_3^{-1}$  trasformati di un medesimo punto  $P$  nelle  $\Omega_i^{-1}$ . E se i due trilateri  $a_1a_2a_3, g_1g_2g_3$  sono omologici, lo sono anche i triangoli  $B_1B_2B_3, P_1^{-1}P_2^{-1}P_3^{-1}$ , loro trasformati nella  $\pi$ . In altre parole, se le  $\Omega_i$  sono in posizione omologica radiale, le  $\Omega_i^{-1}$  sono in posizione omologica puntuale. E viceversa, c. v. d..

D'altra parte si poteva anche osservare che la  $\pi$  trasforma la retta  $r$  nel punto  $S$ , il polo armonico  $R$  di  $r$  rispetto ad  $A_1A_2A_3$  nella polare armonica  $s$  di  $S$  rispetto a  $b_1b_2b_3$ , i punti  $R_i$  nelle rette  $s_i$ , e quindi le rette  $r_i$  nei punti  $S_i$ .

Dunque, poichè nella  $\Omega_i$  alla retta  $r_i$  corrisponde la  $a_i$ , nella  $\Omega_i^{-1}$  al punto  $S_i$  corrisponde quello  $B_i$ , ossia nella stessa  $\Omega_i$  al punto  $B_i$  corrisponde quello  $S_i$ , c. v. d. (nn. 4, 7).

### 9. - Osservazioni particolari sulle terne di omologie involutorie in posizione omologica.

Da quanto precede, sempre nell'ipotesi che almeno uno dei due triangoli omologici  $A_1A_2A_3$ ,  $B_1B_2B_3$  non degeneri, risulta che *per la contemporanea posizione omologica radiale e puntuale non banale delle tre  $\Omega_i$  occorre e basta che esse siano involutorie*. Infatti allora ciascuna delle  $\Omega_i$  è vincolata dalle condizioni (una delle quali consegue dall'altra) di contenere tanto la coppia involutoria di rette  $r_i a_i$ , quanto la coppia involutoria di punti  $S_i B_i$ . Nè, per la ipotesi fatta, queste due condizioni possono divenire entrambe inespressive.

Dunque, se le  $\Omega_i$  sono contemporaneamente in posizione omologica radiale e puntuale ed i loro centri non sono allineati, i loro assi debbono concorrere (nel punto  $R$ ), mentre se gli assi non sono concorrenti, i loro centri debbono essere allineati (sulla retta  $s$ ).

Si noti che nel primo caso diviene meno espressiva (in quanto riguarda solo l'allineamento dei punti d'intersezione dei lati omologhi) la posizione omologica puntuale, mentre nel secondo caso diviene meno espressiva la posizione omologica radiale, che riguarda solo la concorrenza delle congiungenti i vertici omologhi.

In questo caso, trasformando con una omografia il triangolo  $B_1B_2B_3$  in un triangolo equilatero ed  $S$  nel suo centro (dopo di che  $s$  diviene la retta impropria) si riconosce che (v. fig. 7):

*Sulla retta  $s$  la involuzione  $I$  in cui si corrispondono i centri  $A_1A_2A_3$  e le intersezioni  $R_1R_2R_3$  degli assi delle  $\Omega_i$  ha per punti uniti  $MN$  gli stessi della proiettività ciclica del 3° ordine  $\pi = (A_1A_2A_3) = (R_1R_2R_3)$ .*

Nel particolare atteggiamento metrico  $M, N$  sono i punti ciclici. Presa una generica retta  $g$  e detti  $G, G_1', G_2', G_3'$  il suo punto d'intersezione con  $s$  ed i suoi corrispondenti nelle  $\Omega_i$  (anch'essi appartenenti alla retta  $s$ ) si riconosce facilmente che:

*Anche la proiettività ciclica del 3° ordine  $(G_1'G_2'G_3')$  coincide con la  $\pi$ .*

Detti poi  $G_1G_2G_3$  i vertici del trilatero  $g_1g_2g_3$  e  $G_1''G_2''G_3''$

i punti di intersezioni della  $s$  con le rette  $B_1G_1$ ,  $B_2G_2$ ,  $B_3G_3$  concorrenti nel punto  $G_B$ , risulta che:

Anche le coppie di punti  $G_1'G_1''$ ,  $G_2'G_2''$ ,  $G_3'G_3''$  si corrispondono nella involuzione  $I$ , ed anche la proiettività ciclica del 3° ordine ( $G_1''G_2''G_3''$ ) coincide con la  $\pi$ .

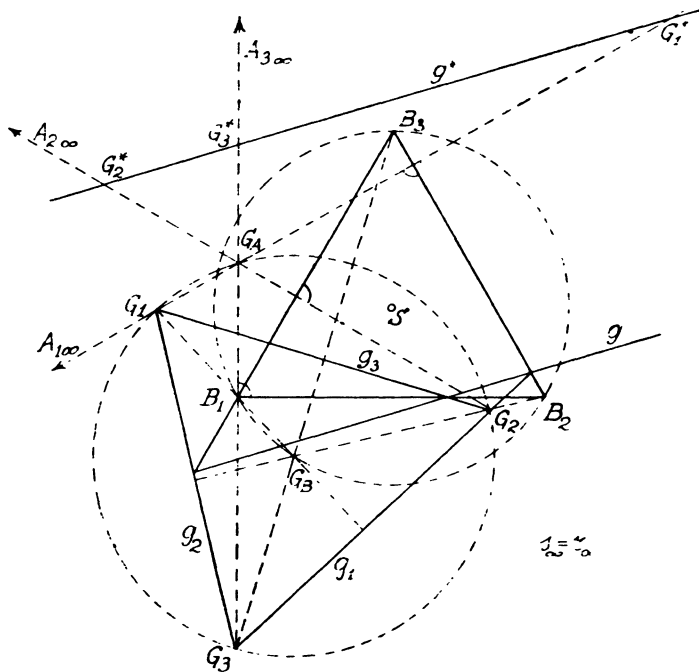


Fig. 7.

Ed infine:

*I trasformati  $G_1^*G_2^*G_3^*$  di  $G_1$ ,  $G_2$ ,  $G_3$  nelle  $\Omega_i$  sono allineati su di una retta  $g^*$  passante per il punto  $G$ .*

Nel particolare atteggiamento metrico della fig. 7 ciò significa che:

*Le rette  $g_1g_2g_3$  simmetriche di una stessa retta  $g$  rispetto ai lati di un triangolo equilatero  $B_1B_2B_3$  sono lati di un altro triangolo equilatero  $G_1G_2G_3$ , le cui altezze passano per  $B_1$ ,  $B_2$ ,  $B_3$ , cosicchè concorrono in un punto  $G_B$  del circolo circoscritto a  $B_1B_2B_3$ . In un punto  $G_A$  del circolo circoscritto a  $G_1G_2G_3$  concorrono invece le perpendicolari abbassate da*

$G_1, G_2, G_3$  sui lati omonimi di  $B_1B_2B_3$ . Infine, i tre punti  $G_1^*, G_2^*, G_3^*$  simmetrici di  $G_1, G_2, G_3$  rispetto a  $b_1, b_2, b_3$  sono allineati su di una retta  $g^*$  parallela a  $g$ .

Nel caso duale, di tre omologie involutorie  $\Omega_i$  in posizione omologica, con i centri  $A_1A_2A_3$  non allineati e (quindi) con gli assi  $b_1b_2b_3$  concorrenti nel punto  $R = S$ , si ha:

Nel fascio di centro  $S$  la involuzione  $\bar{I}$  in cui si corrispondono gli assi  $b_1b_2b_3$  e le rette  $s_1s_2s_3$  proiettanti i centri  $A_1A_2A_3$  ha le stesse rette unite  $m, n$  della proiettività ciclica del 3° ordine  $\pi^* = (b_1b_2b_3) = (s_1s_2s_3)$ . La  $\pi^*$  coincide anche con la proiettività ciclica del 3° ordine  $(p_1'p_2'p_3')$  essendo  $p_i'$  la congiungente  $S$  con i corrispondenti  $P_i$  nelle  $\Omega_i$  di un medesimo punto  $P$ .

Dette  $p_i''$  le rette congiungenti  $S$  con i punti di intersezione dei lati  $a_i$  del triangolo  $A_1A_2A_3$  con quelli  $p_i$  del triangolo  $P_1P_2P_3$ , anche la proiettività ciclica del 3° ordine  $(p_1''p_2''p_3'')$  coincide con la  $\pi^*$ , e nella involuzione  $I$  si corrispondono anche le coppie  $p_i'p_i''$ .

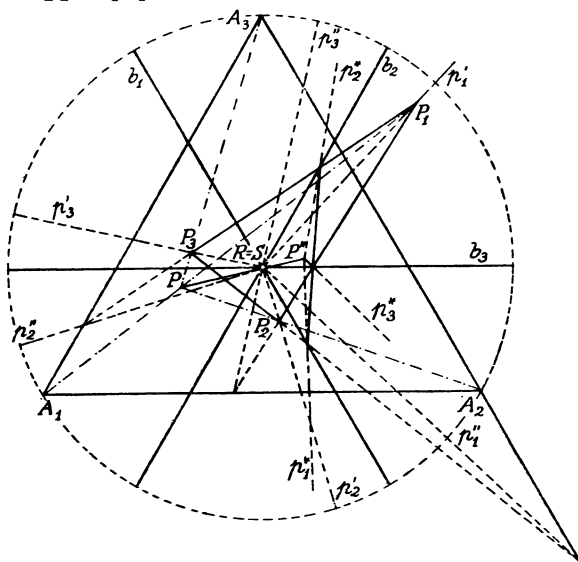


Fig. 8.

Infine le rette  $p_i^*$  trasformate delle  $p_i$  nelle  $\Omega_i$  passano per un medesimo punto  $P^*$  della retta  $SP$ .

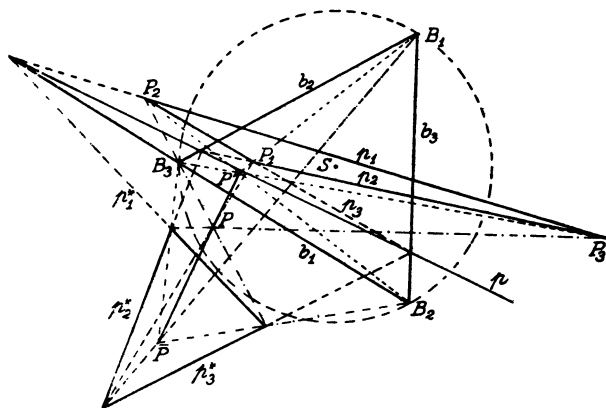


Fig. 9.

Si noti che, trasformato con una omografia il triangolo  $A_1A_2A_3$  in un triangolo equilatero ed il punto  $R=S$  nel suo centro,  $r$  diviene la retta impropria,  $m, n$  divengono le rette isotrope del fascio  $R, \bar{I}$  la involuzione degli angoli retti,  $\pi^*$  una rotazione di  $60^\circ$  (v. fig. 8).

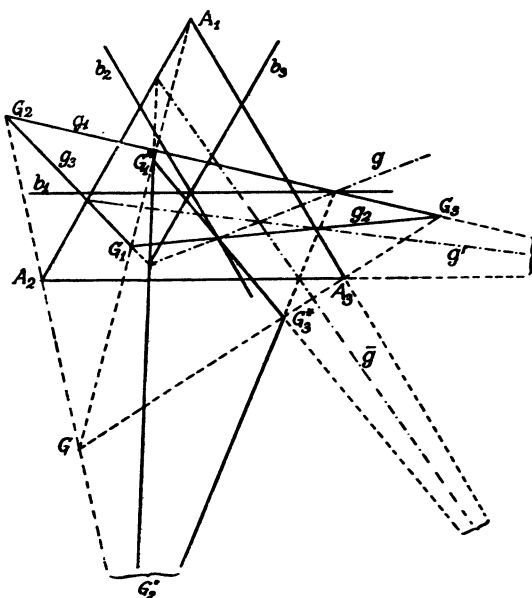


Fig. 10.

Nel caso di una terna di omologie involutorie  $\Omega_i$  in posizione omologica e con gli assi  $b_i$  non concorrenti, detto  $p_1 p_2 p_3$  il trilatero avente per vertici i trasformati  $P_i$  nelle  $\Omega_i$  di un medesimo punto  $P$  e  $p_1^* p_2^* p_3^*$  quello avente come lati le rette  $p_i^*$  trasformate delle  $p_i$  nelle  $\Omega_i$ , converrà osservare che:

*I due trilateri  $(p_i)$  e  $(p_i^*)$  hanno come centro di omologia il punto  $P$ .*

È poi chiaro che, essendo i tre trilateri  $(b_i)$ ,  $(p_i)$ ,  $(p_i^*)$  a due a due omologici, con lo stesso asse di omologia  $p$ , i centri  $P, P', \bar{P}$  di queste tre omologie risultano allineati.

Le osservazioni duali valgono nel caso duale di una terna di omologie armoniche  $\Omega_i$  in posizione omologica e con i centri  $A_i$  non allineati. Le figg. 9, 10 illustrano gli enunciati precedenti, nei casi particolari metrici già usati precedentemente.

## CAP. II.

### IL LUOGO DEI PUNTI I CUI OMOLOGHI SONO ALLINEATI E L'INVILUPPO DUALE

#### 10. - Luogo dei punti i cui tre omologhi sono allineati e sua degenerazione.

È chiaro che, data una *qualsiasi* terna di omologie  $\Omega_i$  con i centri  $A_i$  non allineati, il triangolo  $P_1P_2P_3$  dei punti corrispondenti ad un medesimo punto  $P$  è sempre omologico a quello  $A_1A_2A_3$ . Inoltre: *il luogo dei punti  $P$  per cui il triangolo  $P_1P_2P_3$  degenera è una cubica  $\Gamma$  passante per i vertici  $B_1B_2B_3$  del trilatero  $b_1b_2b_3$  degli assi e per i punti  $R_i$  di intersezione di ciascun asse  $b_i$  col lato  $a_i$  del triangolo  $A_1A_2A_3$  dei centri delle  $\Omega_i$ .*

Infatti, assunto questo come fondamentale per il riferimento proiettivo, ed indicato con  $b_i$  il 1° membro della equazione dell'asse omonimo, le equazioni delle  $\Omega_i$  si scrivono (n. 1):

$$(10.1) \quad \begin{cases} y_{11}:y_{12}:y_{13} = b_1 + x_1: x_2 & : x_3 \\ y_{21}:y_{22}:y_{23} = x_1 & : b_2 + x_2: x_3 \\ y_{31}:y_{32}:y_{33} = x_1 & : x_2 & : b_3 + x_3 \end{cases}$$

e dunque l'equazione di  $\Gamma$  è:

$$(10.2) \quad \Gamma \equiv \begin{vmatrix} b_1 + x_1 & x_2 & x_3 \\ x_1 & b_2 + x_2 & x_3 \\ x_1 & x_2 & b_3 + x_3 \end{vmatrix} \equiv b_1b_2b_3 + x_1b_1b_2 + x_2b_3b_1 + x_3b_1b_2 = 0,$$

da cui l'asserto.

È anche chiaro che *la cubica  $\Gamma$  si spezza nella retta  $r$  di allineamento dei centri ed in una conica  $\gamma$*  (circoscritta al triangolo degli assi) *se i centri  $A_i$  sono allineati.*

In questo caso, assumiamo come lato  $x_3 = 0$  del riferimento proiettivo la retta  $r$ , siano  $A_i = (1, n_i, 0)$  le coordinate dei centri e

$$b_i \equiv m_i x_1 - x_2 + l_i x_3$$

i primi membri delle equazioni degli assi delle  $\Omega_i$  ( $i = 1, 2, 3$ ). Allora le coordinate  $y_{ik}$  ( $k = 1, 2, 3$ ) del punto  $P_i$  corrispondente a  $P(x_1, x_2, x_3)$  nella  $\Omega_i$  sono:

$$(10.3) \quad y_{i1} : y_{i2} : y_{i3} = (n_i - m_i)x_1 + h_i b_i : (n_i - m_i)x_2 + h_i n_i b_i : (n_i - m_i)x_3$$

e l'equazione della conica  $\gamma$  si scrive:

$$(10.4) \quad \begin{vmatrix} (n_1 - m_1)x_1 + h_1 b_1 & (n_1 - m_1)x_2 + h_1 n_1 b_1 & n_1 - m_1 \\ (n_2 - m_2)x_1 + h_2 b_2 & (n_2 - m_2)x_2 + h_2 n_2 b_2 & n_2 - m_2 \\ (n_3 - m_3)x_1 + h_3 b_3 & (n_3 - m_3)x_2 + h_3 n_3 b_3 & n_3 - m_3 \end{vmatrix} = 0,$$

dove  $h_i$  è il complemento della caratteristica puntuale della  $\Omega_i$ :

$$(10.5) \quad h_i = (R_i P_i, b_i, R_i P, r).$$

Assumendo l'eventuale punto di concorso  $O$  come vertice (001) del riferimento, si riconosce che la conica  $\gamma$  degenera in una coppia di rette per  $O$ , se i tre assi  $b_i$  delle  $\Omega_i$  concorrono in un punto.

Supponiamo che  $\gamma$  non sia tangente alla retta  $r$ , che le  $\Omega_i$  non siano speciali, coi centri  $A_i$  distinti dai punti d'intersezione  $I, J$  di  $\gamma$  con  $r$ , e che distinti da questi siano anche i punti  $R_i$  di intersezione degli assi  $b_i$  con  $r$ .

Assunti come fondamentali per il riferimento i punti  $I(100)$  e  $J(010)$ , ciò significa supporre finite le quantità  $m_i, n_i$  e tali che:

$$(10.6) \quad m_1 m_2 m_3 n_1 n_2 n_3 (n_1 - m_1)(n_2 - m_2)(n_3 - m_3) \neq 0.$$

Inoltre, dovendo essere nulli i coefficienti di  $x_1^2, x_2^2$  nella

(10.4), si ottiene:

$$(10.7) \left\{ \begin{array}{l} \frac{(n_2-n_3)(n_1-m_1)}{m_1 h_1} + \frac{(n_3-n_1)(n_2-m_2)}{m_2 h_2} + \frac{(n_1-n_2)(n_3-m_3)}{m_3 h_3} = 0 \\ \frac{(n_2-n_3)(n_1-m_1)}{h_1} + \frac{(n_3-n_1)(n_2-m_2)}{h_2} + \frac{(n_1-n_2)(n_3-m_3)}{h_3} = 0, \end{array} \right.$$

Supponendo infine distinti fra loro anche i punti  $A_i$  e quelli  $R_i$ , ossia

$$(10.8) (n_1-n_2)(n_2-n_3)(n_3-n_1)(m_1-m_2)(m_2-m_3)(m_3-m_1) \neq 0,$$

le (10.7) equivalgono alle:

$$(10.9) h_1 : h_2 : h_3 = \frac{(n_1-m_1)(n_2-n_3)}{m_1(m_2-m_3)} : \frac{(n_2-m_2)(n_3-n_1)}{m_2(m_3-m_1)} : \frac{(n_3-m_3)(n_1-n_2)}{m_3(m_1-m_2)}.$$

Dunque: *fissati sulla retta  $r$  i punti (distinti) di intersezione  $I, J$  con  $\gamma$ , i centri  $A_i$  (distinti fra loro e da  $I, J$ ) e i punti  $R_i$  (di intersezione con gli assi; distinti fra loro, da quelli  $A_i$  e da  $I, J$ ), restano determinate a meno di un fattore le quantità  $h_i$ .*

Si noti che anche le quantità  $m_i, n_i$  occorrono nelle (10.9) a meno di un comune fattore (non nullo), ossia che *per determinare (a meno di un fattore) le  $h_i$  basta che i 6 punti  $A_i, R_i$  siano dati sulla  $r$  a meno di una proiettività con i punti uniti  $I, J$ .*

## 11. - Particolarizzazioni affini e metriche. Teorema di Poncelet.

Supponiamo ora che  $r$  sia la retta impropria, e quindi che siano affini le omologie non speciali  $\Omega_i$ . Detto  $Q_i$  il punto d'intersezione della retta  $PP_i$  con l'asse  $b_i$ , si ha:

$$h_i = (P, Q, P) = \frac{PP_i}{PQ_i}.$$

Risulta così chiaramente il motivo della indeterminazione a meno di un fattore delle  $h_i$ : infatti una omotetia di centro  $P$  trasforma i tre punti allineati  $P_1P_2P_3$  in altri tre punti pure allineati. Se poi fosse:

$$(11.1) \quad h_1 = h_2 = h_3,$$

allora, e solo allora, risulterebbero allineati anche i tre punti  $Q_i$ , intersezioni con i lati  $b_i$  del triangolo  $b_1b_2b_3$  delle congiungenti un punto  $P$  variabile su  $\gamma$  con i punti impropri fissi  $A_1, A_2, A_3$ .

Le (11.1), tramite le (10.9), forniscono:

$$(11.2) \quad \frac{(n_1 - m_1)(n_2 - n_3)}{m_1(m_2 - m_3)} = \frac{(n_2 - m_2)(n_3 - n_1)}{m_2(m_3 - m_1)} = \frac{(n_3 - m_3)(n_1 - n_2)}{m_3(m_1 - m_2)}.$$

Supposte fissate le quantità  $m_i$ , ossia i punti impropri  $R_i$  delle rette  $b_i$ , le (11.2) sono soddisfatte solo per:

$$(11.3) \quad n_1 = n_2 = n_3,$$

oppure:

$$(11.4) \quad \frac{n_1}{m_1} = \frac{n_2}{m_2} = \frac{n_3}{m_3}.$$

Infatti, pensate ad es.  $n_1n_2n_3$  come coordinate cartesiane non omogenee in un  $S_3$ , le (11.2) vi rappresentano una quartica, intersezione di due quadriche, le quali, oltre alle due rette (11.3), (11.4), hanno in comune solo la conica segata sul piano improprio dal cono:

$$m_1(m_2 - m_3)n_2n_3 + m_2(m_3 - m_1)n_3n_1 + m_3(m_1 - m_2)n_1n_2 = 0,$$

ed in questo caso le soluzioni improprie sono da scartare.

Poichè il caso dei tre centri  $A_i$  coincidenti è stato escluso, sono da scartare anche le (11.3) e rimangono solo le (11.4), che scritte:

$$(11.5) \quad n_i = tm_i \quad (i = 1, 2, 3),$$

fan vedere che i punti  $A_i$  si ottengono da quelli  $R_i$  trasformandoli con una medesima proiettività della retta  $r$  in se, coi punti uniti  $I, J$ .

Supposto che  $\gamma$  sia irriducibile, e quindi il triangolo  $b_1b_2b_3$  non degenerare, si trasformino omograficamente  $I, J$  nei punti ciclici. Si ha allora (fig. 11) il noto teorema di Poncelet<sup>9)</sup>:

*Dato un triangolo non degenerare  $b_1b_2b_3$ , sia  $\gamma$  il circolo ad esso circoscritto. Affinchè le congiungenti un punto  $P$  variabile su  $\gamma$  con tre punti impropri distinti e fissi  $A_1, A_2, A_3$  intersechino rispettivamente  $b_1, b_2, b_3$  in tre punti  $Q_1, Q_2, Q_3$  sempre allineati, occorre e basta che gli  $A_i$  si ottengano dai punti impropri  $R_i$  delle  $b_i$  con una medesima congruenza diretta.*

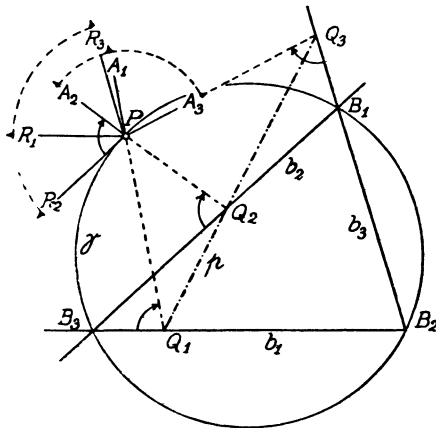


Fig. 11.

Abbastanza interessante è anche il seguente atteggiamento metrico delle proposizioni duali delle precedenti:

*Dato un triangolo non degenerare  $A_1A_2A_3$ , sia  $R$  un fuoco di una conica  $\gamma$  ad esso inscritta e sia  $p$  una tangente variabile di  $\gamma$ . Affinchè le tre intersezioni  $P_1P_2P_3$  di  $p$  con tre rette distinte e fisse  $b_1b_2b_3$  uscenti da  $R$  siano congiunte rispetti-*

<sup>9)</sup> Cfr. nota 2).

ramente ad  $A_1A_2A_3$  da tre rette  $p_1p_2p_3$  sempre concorrenti, occorre e basta che le  $b_i$  si ottengano dalle  $r_i = RA_i$  con una medesima rotazione attorno ad  $R$ .

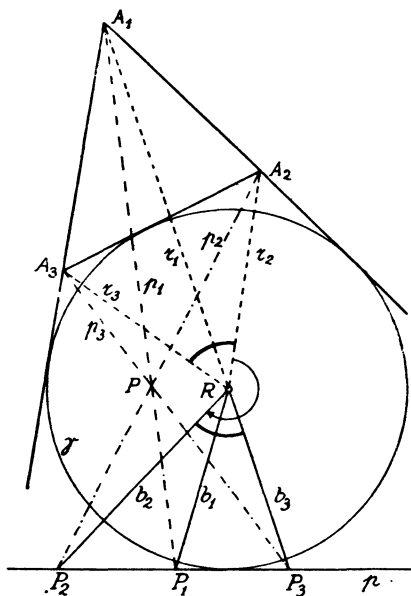


Fig. 12.

Nella fig. 12  $\gamma$  è uno dei cerchi exinscritti al triangolo  $(A_i)$  ed  $R$  è il suo centro.

**12. - Il luogo del n. 10 e l'involuppo duale, nel caso che le tre omologie siano in posizione omologica.**

Da una terna *qualsiasi* di omologie  $\Omega_i$  torniamo a considerare una terna di omologie  $\Omega_i$  in *posizione omologica puntuale* non banale, col trilatero degli assi non degenero.

Sappiamo già che, assumendo come fondamentale per le coordinate proiettive  $x_1x_2x_3$  il trilatero  $b_1b_2b_3$ , e come punto unità il centro  $S$  di omologia dei due triangoli  $A_1A_2A_3$ ,  $B_1B_2B_3$ , le  $\Omega_i$  sono rappresentate dalle (7.9). Esse, indicando con  $y_{ik}$  le coordinate del punto  $P_i$  trasformato di  $P(x)$  in

$\Omega_i$  e con  $k_i$  la sua caratteristica puntuale (quando  $\Omega_i$  non è speciale, altrimenti  $k_i = 1$ ), si scrivono:

$$(12.1) \quad \left\{ \begin{array}{l} y_{11}:y_{12}:y_{13} = k_1x_1 : x_1 + x_2 : x_1 + x_3 \\ y_{21}:y_{22}:y_{23} = x_2 + x_1 : k_2x_2 : x_2 + x_3 \\ y_{31}:y_{32}:y_{33} = x_3 + x_1 : x_3 + x_2 : k_3x_3. \end{array} \right.$$

Le coordinate dei centri  $A_i$  delle  $\Omega_i$  sono:

$$(12.2) \quad A_1(k_1-1, 1, 1), \quad A_2(1, k_2-1, 1), \quad A_3(1, 1, k_3-1),$$

cosicchè, escludendo anche il caso banale<sup>10)</sup> che essi coincidano, si potrà supporre che le quantità  $k_i$  siano finite e tali da aversi:

$$(12.3) \quad k_1k_2k_3(k_1-2)(k_2-2)(k_3-2) \neq 0.$$

Le coordinate dei punti  $R_i = r \cdot a_i$  sono:

$$R_1(0, k_2-2, 2-k_3), \quad R_2(2-k_1, 0, k_3-2), \quad R_3(k_1-2, 2-k_2, 0),$$

ossia, posto, com'è lecito per la (12.3):

$$(12.4) \quad l_i = k_i - 2 \quad (i = 1, 2, 3),$$

si ha

$$R_1(0, l_2, -l_3), \quad R_2(-l_1, 0, l_3), \quad R_3(l_1, -l_2, 0)$$

e l'equazione della retta  $r$  si scrive:

$$(12.5) \quad \Gamma_1 \equiv l_2l_3x_1 + l_3l_1x_2 + l_1l_2x_3 = 0.$$

L'equazione:

$$(12.6) \quad \Gamma_2 \equiv l_2l_3x_2x_3 + l_3l_1x_3x_1 + l_1l_2x_1x_2 = 0,$$

---

<sup>10)</sup> In quanto allora tutte le terne di punti  $P_1P_2P_3$  sono allineate, cosicchè il luogo  $\Gamma$  svanisce.

rappresenta la conica  $\Gamma_2$  per  $B_1B_2B_3$ , trasformata della retta  $r$  nella trasformazione quadratica involutoria  $Q$  avente  $B_1B_2B_3$  come triangolo fondamentale ed uniti i punti  $S, S_1, S_2, S_3$ .

La condizione di allineamento dei centri  $A_1A_2A_3$  è:

$$(12.7) \quad K \equiv \begin{vmatrix} k_1-1 & 1 & 1 \\ 1 & k_2-1 & 1 \\ 1 & 1 & k_3-1 \end{vmatrix} \equiv k_1k_2k_3 - (k_2k_3 + k_3k_1 + k_1k_2) + 4 \equiv \\ \equiv l_1l_2l_3 + l_2l_3 + l_3l_1 + l_1l_2 = 0.$$

Infine la cubica  $\Gamma$  luogo dei punti  $P$  i cui omologhi  $P_i$  sono allineati ha per equazione:

$$(12.8) \quad \Gamma \equiv \begin{vmatrix} k_1x_1 & x_1 + x_2 & x_1 + x_3 \\ x_2 + x_1 & k_2x_2 & x_2 + x_3 \\ x_3 + x_1 & x_3 + x_2 & k_3x_3 \end{vmatrix} \equiv \\ \equiv [k_1k_2k_3 - 2(k_1 + k_2 + k_3) + 4]x_1x_2x_3 - \\ - l_1x_1(x_2^2 + x_3^2) - l_2x_2(x_3^2 + x_1^2) - l_3x_3(x_1^2 + x_2^2) = 0,$$

e si verifica facilmente, tenendo presenti le (12.4), ..., (12.8), che sussisti l'identità:

$$(12.9) \quad l_1l_2l_3\Gamma \equiv K^2x_1x_2x_3 - \Gamma_1 \cdot \Gamma_2.$$

Dunque  $\Gamma$  appartiene al fascio  $\Sigma$  individuato dalla cubica spezzata nei tre assi  $b_1b_2b_3$  delle  $\Omega_i$  e dall'altra cubica spezzata nella retta  $r$  e nella conica  $\Gamma_2$ . Sicchè  $\Gamma$  *passa per i punti  $R_1R_2R_3$  e tocca la  $\Gamma_2$  nei punti  $B_1B_2B_3$ .*

Fissati i punti  $B_1B_2B_3$ , la retta  $r$  ed il punto  $S$ , il fascio  $\Sigma$  resta determinato e determinati a meno di un fattore comune restano anche, a norma della (12.5), i parametri  $l_1l_2l_3$ . La cubica  $\Gamma$  varia in  $\Sigma$  al variare di questo fattore, ossia al variare, sulla rispettiva  $s_i$ , di uno dei centri  $A_i$ , la cui posizione determina quella degli altri due  $A_k, A_l$ .

Se  $A_i$  cade su  $r$  (e quindi vi cadono anche  $A_k, A_l$ ), ossia se i tre centri sono allineati su  $r$ , ossia se  $K=0$ , allora dalla (12.9) risulta che  $\Gamma$  si spezza nella retta  $r$  e nella conica  $\Gamma_2$ .

Viceversa, se  $\Gamma$  si spezza in una retta non passante per  $B_1B_2B_3$  ed in una conica, questa (dovendo passare per  $B_1B_2B_3$  ed ivi toccare  $\Gamma_2$ ) coincide necessariamente con  $\Gamma_2$  e quindi la retta coincide con  $r$ . Inoltre  $K = 0$ , ossia i tre centri  $A_1A_2A_3$  delle  $\Omega_i$  sono allineati (sulla retta  $r$ ).

Dualmente:

*L'inviluppo delle rette  $g$  le cui tre associate  $g_1g_2g_3$  (in una terna di omologie  $\Omega_i$  in posizione omologica radiale non banale, col triangolo  $A_1A_2A_3$  dei centri non degeneri) concorrono in un punto, è un inviluppo  $\Gamma$  di 3<sup>a</sup> classe, della schiera individuata dall'inviluppo spezzato nei tre fasci  $A_1, A_2, A_3$  e da quello spezzato nel punto  $S$  e nella conica inviluppo  $\bar{\Gamma}_2$  trasformata del fascio  $S$  nulla involuzione quadratica  $\bar{Q}$  del piano rigato, col trilatero fondamentale  $a_1a_2a_3$  ed unite le rette  $r, r_1, r_2, r_3$ .*

*Solo se i tre assi concorrono l'inviluppo  $\bar{\Gamma}$  si spezza nel loro punto di concorso  $S$  e nella conica inviluppo  $\bar{\Gamma}_2$ .*

### 13. - Come sopra, nel caso involutorio.

Quando le  $\Omega_i$  sono involutorie, in posizione omologica, col trilatero  $b_1b_2b_3$  degli assi non degeneri, e quindi coi centri allineati sulla retta  $s = r$ , trasformando con una omografia il triangolo  $B_1B_2B_3$  in un triangolo equilatero ed il punto  $S$  nel suo centro,  $\Gamma_2$  diviene il circolo circoscritto al triangolo  $B_1B_2B_3$ . Le rette, sulle quali sono allineati i punti  $P_1P_2P_3$  corrispondenti nelle  $\Omega_i$  ad un medesimo punto  $P$  di  $\Gamma_2$ , descrivono, al variare di  $P$ , il fascio avente per centro il centro  $S$  del triangolo  $B_1B_2B_3$  <sup>11</sup>).

Nel caso involutorio duale, trasformati omograficamente in un triangolo equilatero il triangolo non degeneri  $A_1A_2A_3$  e nel suo centro il punto  $R = S$  di concorso degli assi,  $\bar{\Gamma}_2$

<sup>11</sup>) Più in generale (cfr. n. 11), preso un qualsiasi triangolo non degeneri  $B_1B_2B_3$ , i simmetrici  $P_1P_2P_3$  rispetto ai suoi lati di un punto  $P$  del circolo circoscritto sono allineati su di una retta  $p$ , variabile con  $P$  attorno all'ortocentro  $H$  del triangolo  $B_1B_2B_3$  (vedi fig. 13).

diviene il circolo inscritto in  $A_1A_2A_3$ . Le omologhe  $g_1g_2g_3$  di una retta  $g$  tangente a  $\bar{\Gamma}_2$  sono parallele, e la loro direzione varia con  $g$  <sup>12)</sup>.

<sup>12)</sup> Più in generale (cfr. n. 20), preso un triangolo *non degenero* arbitrario  $A_1A_2A_3$ , dette  $l_1l_2l_3$  le tangenti (ad una conica inscritta, ad es.) al circolo inscritto  $\gamma$  parallele ai lati  $a_1a_2a_3$  (e da essi distinte) e dette  $G_1, G_2, G_3$  le intersezioni di  $l_1l_2l_3$  con una qualsiasi retta  $g$  tangente a  $\gamma$ , le rette  $A_1G_1, A_2G_2, A_3G_3$  risultano parallele e la loro

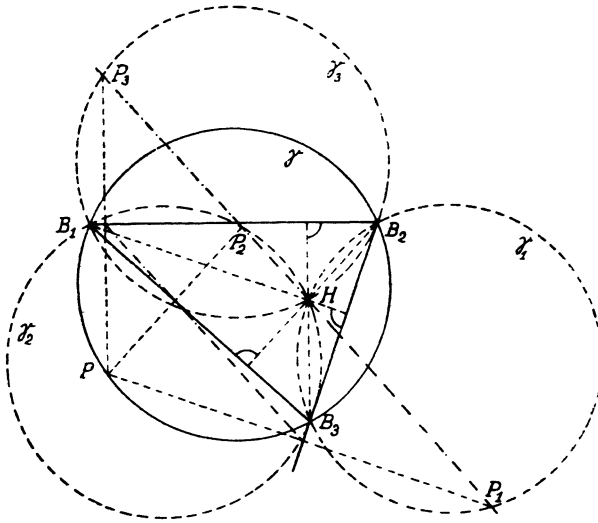


Fig. 13.

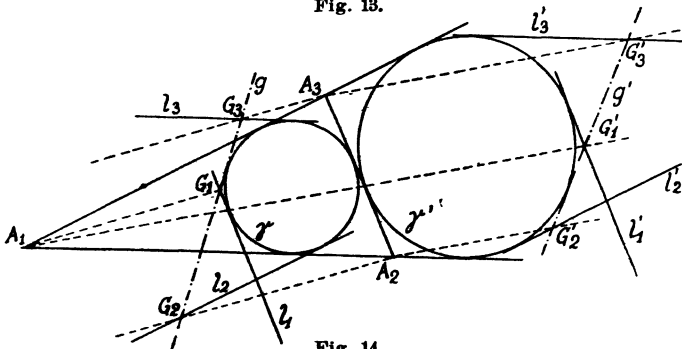


Fig. 14.

direzione varia con  $g$ . Dunque in ogni terna di omologie  $\Omega_i$  con i centri  $A_i$  e nelle cui inverse siano rette limiti le  $l_i$ , le trasformate  $g_1g_2g_3$  di una stessa tangente  $g$  di  $\gamma$  sono parallele ed il loro punto improprio varia con  $g$  (vedi fig. 14).

#### 14. - Caratterizzazioni proiettive della conica $\Gamma_2$ .

Si tenga presente che le tre tangenti  $t_1 t_2 t_3$  nei punti  $B_1 B_2 B_3$  di una conica  $\Gamma_2$  incontrano i lati opposti  $b_1 b_2 b_3$  del triangolo inscritto  $B_1 B_2 B_3$  in tre punti allineati su di una retta  $r$ .

Infatti la polarità armonica  $\pi$  rispetto al triangolo  $B_1 B_2 B_3$ , che è una trasformazione quadratica del piano punteggiato nel piano rigato i cui triangolo e trilatero fondamentali coincidono col triangolo dato, trasforma  $\Gamma_2$  in un fascio di rette  $\bar{R}$ , cui appartengono anche le rette immagini dei punti di  $\Gamma_2$  prossimi a quelli  $B_i$ , ossia le coniugate armoniche delle  $t_i$  rispetto a  $b_k, b_l$  ( $k \neq l \neq i = 1, 2, 3$ ). Da ciò l'asserto, con la precisazione che  $r$  è la polare armonica di  $\bar{R}$  rispetto a  $B_1 B_2 B_3$ .

Ritorniamo ora al caso generale, non involutorio, di una terna di omologie  $\Omega_i$  in posizione omologica puntuale non banale. Sia  $b_1 b_2 b_3$  il trilatero, non degenerare, dei loro assi e sia  $S$  il centro della omologia  $\Omega$  di asse  $r$  che lega il triangolo  $B_1 B_2 B_3$  con quello  $A_1 A_2 A_3$  dei loro centri, (eventualmente allineati ma *distinti*). Sia inoltre  $Q$  la trasformazione quadratica involutoria del piano punteggiato avente il triangolo fondamentale  $B_1 B_2 B_3$  ed  $S, S_1, S_2, S_3$  come punti uniti <sup>13)</sup>. Indichiamo con  $s'_1, s'_2, s'_3$  i lati del triangolo  $S_1 S_2 S_3$ , passanti rispettivamente per  $B_1 B_2 B_3$ .

Si tenga presente che  $\Gamma_2$  è la trasformata di  $r$  nella  $Q$  e che quindi il punto di  $\Gamma_2$  prossimo a  $B_i$  è il trasformato di quello di  $r$  prossimo ad  $R_i = r \cdot b_i$ . Ossia che le rette  $B_i R_i, t_i$  separano armonicamente quelle  $s_i, s'_i$ , unite nella  $Q$ .

D'altra parte, detto  $R'$  il polo armonico di  $r$  rispetto a  $B_1 B_2 B_3$ , le rette  $B_i R'$  e  $B_i R_i$  separano armonicamente le  $b_k, b_l$  ( $k \neq l \neq i = 1, 2, 3$ ), come quelle  $s_i, s'_i$ .

Pertanto anche le rette  $B_i \bar{R}, B_i R'$  separano armonicamente quelle  $s_i, s'_i$ , ossia  $\bar{R}$  ed  $R'$  si corrispondono nella  $Q$ .

Per convincersene si pensi che  $b_k, b_l$  siano (state trasfor-

<sup>13)</sup> Per la definizione dei punti  $S_i$  cfr. l'ultimo alinea del n. 4.

mate) nelle rette isotrope per  $B_i$ . Allora  $s_i, s_i'$  sono ortogonali, come la  $B_i\bar{R}$  e la  $t_i$ , mentre la  $B_iR_i$  è la simmetrica della  $t_i$  rispetto ad  $s_i, s_i'$  e la  $B_iR'$  è la ortogonale alla  $B_iR_i$ .

Dunque (v. fig. 15) anche la  $B_i\bar{R}$  e la  $B_iR'$  sono simmetriche rispetto ad  $s_i, s_i',$  c. v. d.

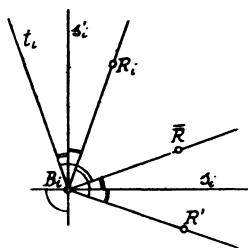


Fig. 15.

Infine  $r$  ed  $\bar{r}$  si corrispondono nella corrispondenza  $\bar{Q}$  trasformata della  $Q$  mediante la  $\pi$ :

$$Q \left( \begin{array}{c} \rightarrow R' \xleftrightarrow{\pi} r \leftarrow \\ \rightarrow \bar{R} \xleftrightarrow{\pi} \bar{r} \leftarrow \end{array} \right) \bar{Q}$$

Pertanto, nel fascio  $B_i$ , le tre coppie di rette  $B_iR_i, B_iR'$ ;  $t_i, B_i\bar{R}$ ;  $s_i, s_i'$  separano armonicamente la coppia  $b_k, b_l$ , mentre le tre coppie  $b_k, b_l$ ;  $t_i, B_iR_i$ ;  $B_i\bar{R}, B_iR'$  separano armonicamente la coppia  $s_i, s_i'$ .

La conica  $\Gamma_2$  appartiene al fascio individuato dalle due coniche degeneri nelle due rette  $b_k, b_l$  e nelle altre due  $t_i, b_l$ . Dunque, segnando con la retta  $r$ , la coppia di punti  $\Gamma_2 \cdot r$  appartiene alla stessa involuzione cui appartengono le coppie  $R_iR_i$ ;  $R_i, t_i \cdot r$ .

Per quanto precede i punti uniti di questa involuzione sono segnati su  $r$  dalle rette  $s_i, s_i'$ . Se ne deduce che *le due punti  $\Gamma_2 \cdot r$  sono i punti uniti della involuzione  $I$  cui appartengono tutte e tre le coppie segnate sulla  $r$  dalle tre coppie di rette  $s_i, s_i'$ .*

Si noti che per ipotesi (n. 3)  $S$  non appartiene ai lati del triangolo  $B_1B_2B_3$ , giacchè, se ad es. appartenesse a  $b_1$ ,

all'asse  $b_1$  della  $\Omega_1$  dovrebbero appartenere i centri  $A_2, A_3$  delle  $\Omega_2, \Omega_3$ .

Dunque le tre rette  $s_i$  sono distinte fra loro e dalle  $s'_i$ , anch'esse distinte fra loro. In altre parole la  $I$  non può essere parabolica se la retta  $r$  non passa per  $S$ , ossia: *la retta  $r$  è tangente (in  $S$ ) a  $\Gamma_2$  solo se  $r$  ed  $S$  si appartengono.*

### CAP. III.

#### MODELLI METRICI, NEL CASO IN CUI NON SONO CONTEMPORANEAMENTE ALLINEATI I CENTRI E CON- CORRENTI GLI ASSI

##### 15. - Modelli affini del caso speciale in cui $r$ ed $S$ si appartengono e dei suoi casi limite.

Quando  $r$  ed  $S$  si appartengono, ossia  $\Omega$  è speciale, con una omografia si può trasformare  $r$  nella retta impropria e  $(B_i)$  in un triangolo assegnato. Il triangolo  $(A_i)$  risulta allora uguale a quello  $(B_i)$ , dal quale si ottiene con una traslazione di ampiezza determinata in una determinata direzione (quella del punto improprio  $S$ ).  $\Gamma_2$  diviene la parabola circoscritta a  $(B_i)$  col centro in  $S_\infty$ . I punti  $S_i$  sono quelli medi dei segmenti intercettati dai lati del triangolo  $(B_i)$  sulle rette parallele  $S_\infty B_i$ .

Le rette  $r_i$  sono le congiungenti i punti medi dei lati del triangolo  $(A_i)$ . Anche la conica involuppo  $\bar{\Gamma}_2$  è una parabola, quella col centro in  $S_\infty$  ed inscritta nel triangolo  $(A_i)$ . Nella fig. 16 sono stati messi in evidenza il triangolo  $(P_i)$ , omologico a quello  $(B_i)$ , dei trasformati di un punto  $P$  nelle  $\Omega_i$  ed il trilatero  $(g_i^{-1})$ , omologico a quello  $(A_i)$ , delle rette trasformate di una retta  $g$  nelle  $\Omega_i^{-1}$ .

Si osservi che il triangolo  $(B_i)$ , la direzione di  $S$  e l'ampiezza e il verso della traslazione che porta  $(B_i)$  in  $(A_i)$  sono arbitrari.

Si ottiene così un modello metrico di ogni terna di omologie in posizione omologica puntuale (come le  $\Omega_i$ ) o radiale (come le  $\Omega_i^{-1}$ ), per le quali sia speciale la omologia  $\Omega$  fra il triangolo degli assi e quello dei centri.

Si ottengono anche due notevoli teoremi di geometria del triangolo, che esprimono una particolarizzazione affine delle condizioni già viste nei nn. 4,5 (necessarie e sufficienti per

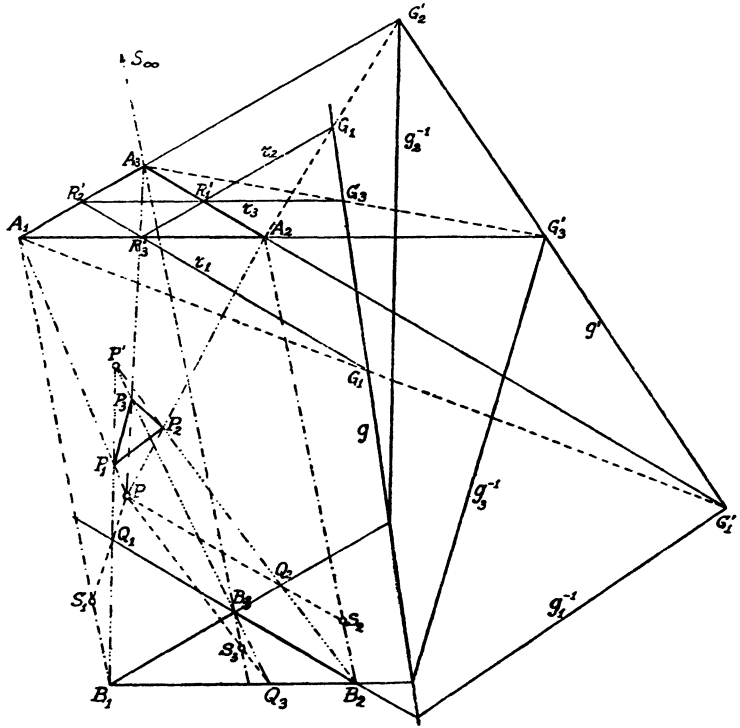


Fig. 16.

la posizione omologica) e si possono enunciare come segue:

I) Dato un triangolo non degenero  $(B_i)$  ed una direzione  $S_\infty$ , sia  $S_i$  il punto medio del segmento intercettato dai lati del triangolo sulla retta  $B_iS_\infty$ . Preso un punto  $P$  qualsiasi del piano, sia  $Q_i$  la intersezione della retta  $S_iP$  col lato opposto a  $B_i$ . Allora le tre rette  $B_iQ_i$  concorrono in un medesimo punto  $P'$ .

II) Dato un triangolo non degenero  $(A_i)$ , sia  $r_i$  la retta congiungente i punti medi dei lati concorrenti in  $A_i$ . Presa una qualsiasi retta  $g$  del piano, sia  $G_i$  il suo punto di intersezione con  $r_i$  e sia  $G_i'$  la proiezione di  $G_i$  fatta dal vertice

$A_i$  sul lato opposto del triangolo. Allora i tre punti  $G_i'$  sono allineati su di una retta  $g'$ .

L'importanza delle due coniche  $\Gamma_2, \bar{\Gamma}_2$  è in parte sminuita (nell'ipotesi fatta che  $\Omega$  sia speciale) dalla circostanza che il triangolo  $(A_i)$  non può degenerare senza che i punti  $A_i$  coincidano in  $S$  e quello  $(B_i)$  non può degenerare senza che le rette  $b_i$  coincidano con  $r$ .

Nel 1° caso non hanno più senso la considerazione dell'asse  $r$  della  $\Omega$  (che degenera) e la posizione omologica radiale delle  $\Omega_i^{-1}$ . Inoltre svanisce (in quanto invade tutto il piano) il luogo dei punti  $P$  in cui omologhi nelle  $\Omega_i$  sono allineati.

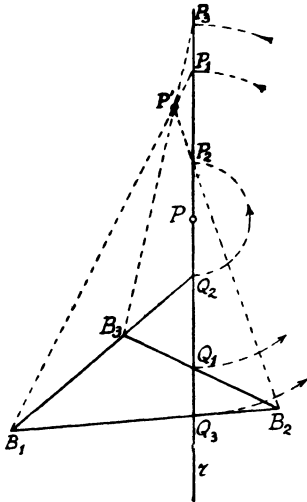


Fig. 17.

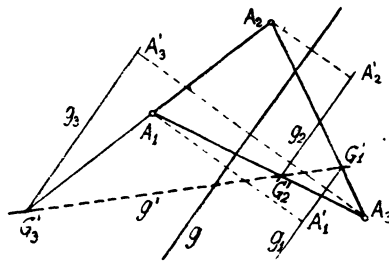


Fig. 18.

Nel 2° caso non hanno più senso la considerazione del centro  $S$  della  $\Omega$  (ancora degenera) e la posizione omologica puntuale delle  $\Omega_i$ .

Inoltre svanisce (in quanto invade tutto il piano) l'inviluppo delle rette  $g$  le cui omologhe nelle  $\Omega_i^{-1}$  sono concorrenti.

Comunque nei due casi, che si possono considerare come limiti di quello in cui  $\Omega$  è speciale e non degenera, supponendo sempre  $S$  od  $r$  impropri, la posizione omologica pun-

tuale delle  $\Omega_i$  o rispettivamente quella omologica radiale delle  $\Omega_i^{-1}$  equivalgono ai seguenti teoremi di geometria del triangolo, illustrati dalle figg. 17, 18:

I') *Dati un qualsiasi triangolo non degenere ( $B_i$ ) ed un punto  $P$  del suo piano, si conduca per  $P$  una retta arbitraria e si chiamino  $Q_i$  e  $P_i$  rispettivamente la sua intersezione col lato opposto a  $B_i$  ed il simmetrico di  $Q_i$  rispetto a  $P$ . Allora le tre rette  $B_iP_i$  concorrono in un medesimo punto  $P'$ .*

II') *Dati un qualsiasi triangolo non degenere ( $A_i$ ) ed una retta  $g$  del suo piano, sia  $A_i'$  il simmetrico di  $A_i$  rispetto a  $g$ . La retta  $g_i$ , parallela a  $g$  per  $A_i'$  incontra il lato opposto ad  $A_i$  in un punto  $G_i'$ . Allora i tre punti  $G_i'$  sono allineati su di una retta  $g'$ .*

## 16. - Modelli metrici reali delle terne di omologie in posizione omologica, col trilatero degli assi non degeneri e $I$ ellittica.

Nel caso in cui il triangolo ( $B_i$ ) degli assi  $b_i$  delle  $\Omega_i$  non sia degenere ed il punto  $S$  non appartenga ad  $r$ , da quanto s'è visto nel n. 14 risulta che con una omografia (reale, se la  $I$  è ellittica<sup>14</sup>) si può trasformare  $r$  nella retta impropria e la  $I$  nella involuzione assoluta. Con ciò  $\Gamma_2$  diviene il circolo circoscritto al triangolo ( $B_i$ ) ed  $R'$  il suo baricentro. Dopo di che *la figura resta determinata a meno di una similitudine*. Inoltre, dovendo le rette  $s_i$ ,  $s_i'$  separare armonicamente quelle  $b_k$ ,  $b_l$  ed essere ortogonali, necessariamente coincidono con le bisettrici degli angoli al vertice  $B_i$  del triangolo ( $B_i$ ). In altre parole i 4 punti  $S$ ,  $S_i$  divengono (in uno dei 4 modi possibili, determinato dalla configurazione delle tre omologie date) l'incastro e gli excentri del triangolo ( $B_i$ ). Se ne deduce che (v. fig. 19):

---

<sup>14</sup>) La  $I$  è certamente ellittica quando le  $\Omega_i$  sono (reali) ed involutorie (cfr. nn. 9, 17).

Quando la retta  $r$  ed il punto  $S$  non si appartengono, una terna di omologie  $\Omega_i$  in posizione omologica puntuale non banale e col triangolo degli assi non degenerare si può sempre trasformare con una omografia nella terna di omo-

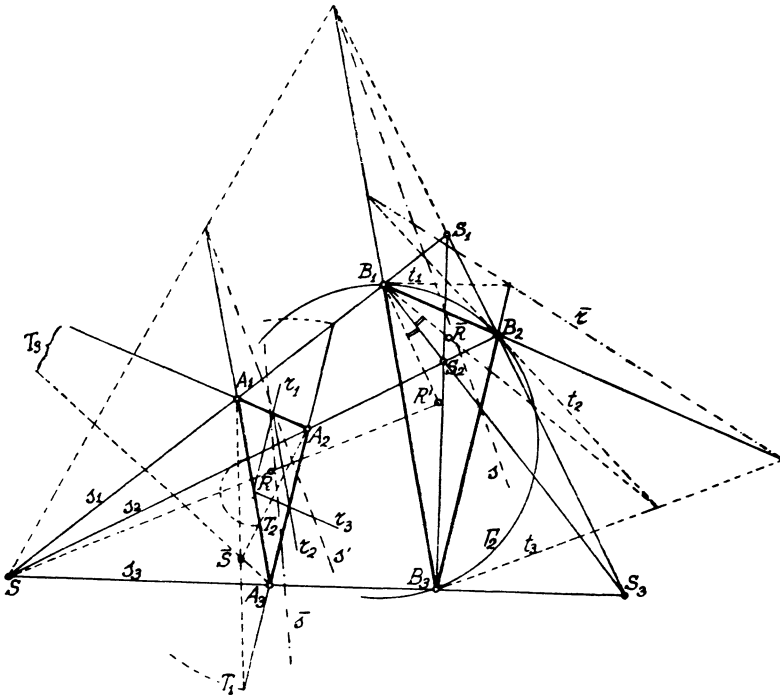


Fig. 19.

logie  $\Omega_i$  aventi per assi  $b_i$  i lati di un triangolo  $(B_i)$  ed il triangolo dei centri  $(A_i)$  (eventualmente allineati, sulla retta impropria) omotetico a questo, col centro di omotetia  $S$  in uno dei centri dei 4 cerchi inscritto ed exinscritti al triangolo  $(B_i)$ . Allora, detto  $S_i$  quello dei centri degli altri tre cerchi allineato con  $S$  e con  $B_i$ , nella  $\Omega_i$  al punto  $S_i$  corrisponde quello  $B_i$ . Inoltre la conica  $\Gamma_2$  diviene il cerchio circoscritto al triangolo  $(B_i)$ . Infine, il triangolo  $(B_i)$  e tutta la figura restano determinati a meno di una similitudine dalla terna di omologie data.

Viceversa risulta da quanto precede (nn. 3, 4) che, per ogni

scelta del triangolo  $(B_i)$ , di uno dei quattro punti  $S$  e del rapporto di omotetia, le suddette  $\Omega_i$  sono sempre in posizione omologica puntuale, le loro inverse in posizione omologica radiale (nn. 7, 8) e la conica  $\Gamma_2$  è il circolo circoscritto a  $(B_i)$ .

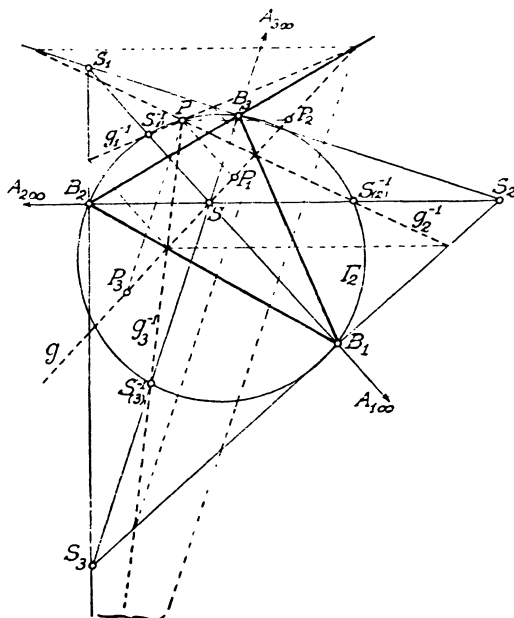


Fig. 20.

Ciò costituisce già un notevole teorema di geometria del triangolo.

Inoltre, al variare del triangolo  $(B_i)$  e del suo rapporto di omotetia con quello  $(A_i)$ , la configurazione precedente fornisce un *modello metrico reale di ogni terna di omologie in posizione omologica (radiale o puntuale) non banale, i cui assi non siano concorrenti ed in cui la retta  $r$  ed il punto  $S$  non si appartengano e la involuzione  $I$  sia ellittica.*

In particolare supponiamo allineati (ossia impropri) i centri  $A_i$  delle  $\Omega_i$  e teniamo presente che allora la componente propria della cubica  $\Gamma'$  si riduce alla conica  $\Gamma_2$  (n. 12). Se ne deduce il seguente teorema di geometria del triangolo (v. fig. 20):

*Fissato uno  $S$  dei centri dei 4 cerchi inscritti ad un triangolo  $(B_i)$ , si chiami  $S_i$  quello degli altri tre allineato con  $S$  e con  $B_i$ . I tre trasformati  $P_i$  di un medesimo punto  $P$  del circolo  $\Gamma_2$  circoscritto a  $(B_i)$ , nelle omologie affini  $\Omega_i$  aventi per assi i suoi lati  $b_i$  e nelle quali al punto  $S_i$  corrisponde  $B_i$ , sono allineati su di una retta  $g$  variabile con  $P$ .*

Si verifica inoltre che: *al variare di  $P$  su  $\Gamma_2$ , le rette  $g$  descrivono il fascio di centro  $S$ , e quindi che viceversa: ad una retta  $g$  per  $S$  corrispondono nelle  $\Omega_i^{-1}$  tre rette  $g_i^{-1}$  concorrenti in un punto  $P$  di  $\Gamma_2$ .*

Si osservi infine (fig. 20) che: *i tre punti  $S_i^{-1}$  corrispondenti ad  $S$  nelle  $\Omega_i^{-1}$  appartengono a  $\Gamma_2$ .*

**17. - L'inviluppo  $\bar{\Gamma}$  si spezza in tre fasci di rette quando  $\Gamma$  si spezza nella retta  $r$  e nella conica  ${}_2\Gamma$ .**

Se in una terna di omologie  $\Omega_i$  i corrispondenti  $P_i$  di un medesimo punto  $P$  sono allineati su di una retta  $g$ , allora le omologhe  $g_i^{-1}$  della  $g$  nelle  $\Omega_i^{-1}$  concorrono in  $P$ . E viceversa.

Sia  $\Gamma$  il luogo dei punti  $P$  i cui omologhi  $P_i$  nelle  $\Omega_i$  sono allineati, su di una retta  $\bar{g}$  variabile con  $P$ , e sia  $\bar{\Gamma}$  l'inviluppo delle rette  $\bar{g}$  le cui omologhe  $g_i^{-1}$  nelle  $\Omega_i^{-1}$  concorrono in un punto  $\bar{P}$ , variabile con  $g$ . L'osservazione precedente equivale a dire che:

*Le rette  $\bar{g}$  coincidono con le  $g$  ed i punti  $P$  con quelli  $\bar{P}$ .*

D'altra parte, se le tre  $\Omega_i$  sono in posizione omologica puntuale, le loro inverse  $\Omega_i^{-1}$  sono in posizione omologica radiale.

Nei nn. precedenti abbiamo considerato il luogo  $\Gamma$  nel caso che il triangolo  $(B_i)$  degli assi  $b_i$  delle  $\Omega_i$  (in posizione omologica puntuale) non fosse degeneré e, dualmente, l'inviluppo  $\bar{\Gamma}$  nel caso che non fosse degeneré il triangolo  $(A_i)$  dei centri delle  $\Omega_i^{-1}$  (in posizione omologica radiale). Ora possiamo aggiungere che:

*Nel caso di tre omologie  $\Omega_i^{-1}$  in posizione omologica radiale, con i centri  $A_i$  allineati su  $r$  ed il triangolo  $(B_i)$  degli assi non degeneré, ciascuno dei due punti  $M, N = \Gamma \cdot r$  ha i suoi*

tre omologhi nelle  $\Omega_i$  coincidenti, rispettivamente nei punti  $M'$ ,  $N'$  di  $r$ . Solo se le  $\Omega_i$  sono involutorie  $M' = N$ ,  $N' = M$ . Perciò l'inviluppo  $\bar{\Gamma}$  si spezza nei tre fasci aventi per centri i punti  $S$ ,  $M'$ ,  $N'$ . E dualmente:

Nel caso di tre omologie  $\Omega_i^{-1}$  in posizione omologica puntuale, con gli assi  $b_i$  concorrenti in  $S$  ed il triangolo  $(A_i)$  dei centri non degenerare, il luogo  $\Gamma$  si spezza nella retta  $r$  e nelle due rette  $m'$ ,  $n'$  comuni omologhe nelle  $\Omega_i$  delle tangenti  $m$ ,  $n$  a  $\bar{\Gamma}$  per  $S$ . Solo se le  $\Omega_i$  sono involutorie  $m' = n$ ,  $n' = m$ .

Infatti, nel 1° caso, ricordando che  $\Gamma$  si spezza nella conica  $\Gamma_2$  e nella retta  $r$  e che ad un punto generico  $P$  di  $\Gamma_2$  corrispondono nelle  $\Omega_i$  tre punti  $P_i$  distinti ed allineati con  $S$ , mentre ad un punto generico  $Q$  di  $r$  corrispondono tre punti distinti  $Q_i$  della stessa  $r$ , se ne deduce che ad ognuno dei punti  $\Gamma_2 \cdot r$  corrisponde nelle  $\Omega_i$  un unico punto di  $r$ .

Sempre nello stesso caso, si osservi che: se le  $\Omega_i$  sono reali ed involutorie, i due punti  $M = N'$ ,  $N = M'$  sono immaginari e coniugati. Analogamente, nel caso duale.

Infatti, riferendosi com'è lecito al modello delle simmetrie rispetto ai lati di un triangolo equilatero  $(B_i)$ , si riconosce (n. 9) che su  $\Gamma_2$   $M$  ed  $N$  sono i punti uniti della proiettività ciclica del 3° ordine  $(B_1 B_2 B_3)$ .

D'altra parte è facile costruire esempi di terne di omologie  $\Omega_i$ , reali ed in posizione omologica, con i centri allineati e gli assi non concorrenti, in cui la involuzione  $I$  sia iperbolica, cosicchè sono reali i tre fasci di rette di centri  $S$ ,  $M'$ ,  $N'$  le cui omologhe nelle  $\Omega_i^{-1}$  sono concorrenti.

### 18. - Costruzione dei centri dei fasci di cui sopra, quando $I$ è iperbolica.

Per comodità, e com'è lecito, supponiamo impropria la retta  $r$ .

Fissata la configurazione degli assi  $b_i$  ed il punto  $S$ , restano determinati su  $r$  i punti  $R_i = b_i \cdot r$ , i centri  $A_i = s_i \cdot r$

ed i punti  $A_i' = s_i' \cdot r$  coniugati armonici di quelli  $A_i$  rispetto alle coppie  $R_k, R_l$  ( $i \neq k \neq l = 1, 2, 3$ ).

Le coppie  $A_i R_i$  appartengono ad una stessa involuzione, come discende dalla considerazione del quadrangolo  $SB_1 B_2 B_3$ .

Anche le tre coppie  $A_i A_i'$  appartengono ad una stessa involuzione  $I$ , avente per punti doppi  $M, N$  quelli comuni alla

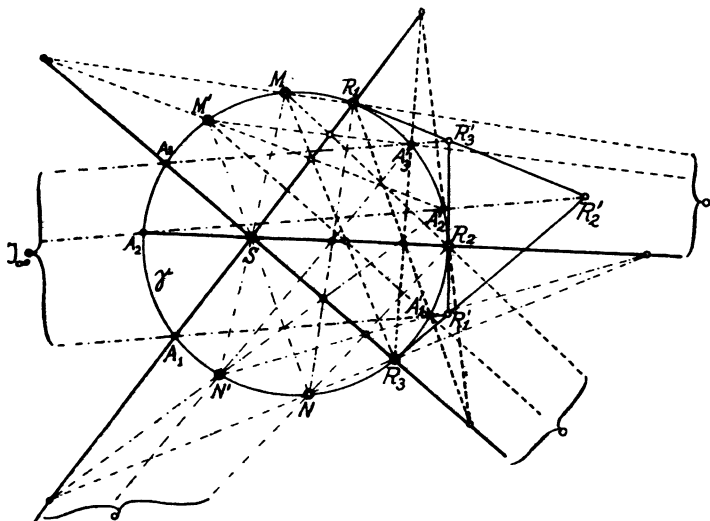


Fig. 21.

retta  $r$  e alla conica  $\Gamma_2$  (n. 14).

Dette  $\omega_i$  le proiettività subordinate dalle  $\Omega_i$  sulla  $r$ , si ha:

$$\omega_1 = \begin{pmatrix} R_1 A_1 A_2' A_3' \\ R_1 A_1 R_3 R_2 \end{pmatrix}, \quad \omega_2 = \begin{pmatrix} R_2 A_2 A_3' A_1' \\ R_2 A_2 R_1 R_3 \end{pmatrix}, \quad \omega_3 = \begin{pmatrix} R_3 A_3 A_1' A_2' \\ R_3 A_3 R_2 R_1 \end{pmatrix}.$$

Inoltre s'è visto che i punti  $M, N$  hanno gli stessi corrispondenti  $M', N'$  nelle tre  $\omega_i$ .

Nella fig. 21 la circonferenza  $\gamma$  si pensa riferita prospettivamente (da un suo punto reale) alla retta impropria  $r$ . Così la corrispondenza tra le rette che da un suo punto *qualsiasi* proiettano i punti di  $\gamma$  e le direzioni dei punti impropri corrispondenti su  $r$  è *conforme*.

Alla scelta degli assi  $b_i$  corrisponde sulla  $\gamma$  la scelta dei punti  $\bar{R}_i$  corrispondenti a quelli  $R_i$ . La scelta di  $S$  equivale a quella del polo  $\bar{S}$  della involuzione in cui su  $\gamma$  ai punti  $\bar{R}_i$  sono coniugati i corrispondenti  $\bar{A}_i$  dei centri delle  $\Omega_i$ .

Siano  $\bar{R}'_i$  i vertici del trilatero circoscritto a  $\gamma$  nei punti  $\bar{R}_i$ . Allora i punti  $\bar{A}'_i$  sono le ulteriori intersezioni con  $\gamma$  delle rette  $R'_i A_i$ , che concorrono nel polo  $\bar{I}$  della involuzione immagine della  $I$ .

Dunque la  $I$  risulta iperbolica se  $\bar{I}$  risulta esterno a  $\gamma$  ed i suoi punti doppi  $M, N$  hanno per immagini  $\bar{M}, \bar{N}$  i punti di contatto delle tangenti a  $\gamma$  uscenti da  $\bar{I}$ .

Gli assi di collineazione delle immagini su  $\gamma$  delle  $\omega_i$  sono le rette  $\bar{R}_i \bar{A}_i$ , concorrenti in  $\bar{S}$ , cosicchè su di esse si intersecano le coppie di rette associate  $\bar{A}_k \bar{R}_k, \bar{A}_l \bar{R}_l$  ( $i \neq k \neq l = 1, 2, 3$ )<sup>15</sup>.

<sup>15</sup>) Quanto è detto negli ultimi tre capoversi equivale ai seguenti teoremi della teoria delle coniche (v. fig. 22):

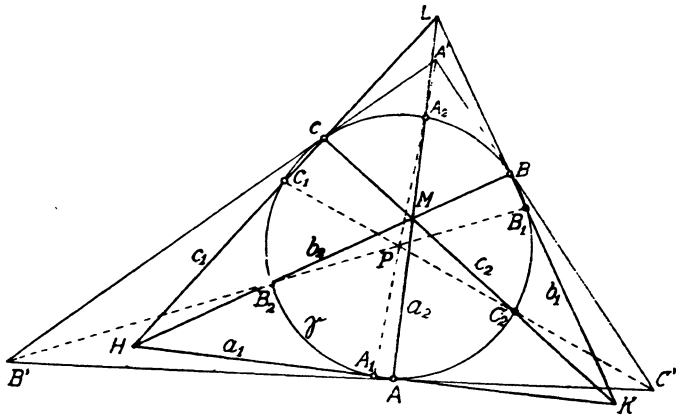


Fig. 22.

I) Dato un quadrangolo piano completo  $HKLM$ , sia  $\gamma$  una conica circoscritta al suo triangolo diagonale  $ABC$ , siano  $a_1, a_2; b_1, b_2; c_1, c_2$  le sue coppie di lati opposti uscenti rispettivamente da  $A, B, C$ , e siano  $A_1, A_2; B_1, B_2; C_1, C_2$  le loro ulteriori intersezioni con  $\gamma$ . Siano infine  $A', B', C'$  i vertici del trilatero circoscritto a  $\gamma$  nei punti  $A, B, C$ . Allora :

Le immagini dei punti  $M'N'$  si potrebbero costruire sfruttando l'asse di collineazione di una qualunque delle  $\omega_i$ . Dunque su ciascuna delle tre rette  $R_iA_i$  si intersecano anche le 4 coppie di rette  $\overline{MR}_k, \overline{M'A'_i}; \overline{NR}_k, \overline{N'A'_i}$  ( $i \neq k \neq l = 1, 2, 3$ ).

D'altra parte la circostanza che  $M', N'$  non dipendono dall'indice  $i$  si traduce nel fatto che le due rette associate  $\overline{MN'}$ ,  $\overline{M'N}$  si intersecano nel punto  $S$ , comune a quei tre assi. Di qui la più semplice costruzione di  $\overline{M'}$ ,  $\overline{N'}$ , come ulteriori intersezioni con  $\gamma$  delle rette  $\overline{NS}$ ,  $\overline{MS}$ . Si tenga presente che nella fig. 21 sono state omesse le sopralineature delle lettere e che per la costruzione di  $M', N'$  non servono le rette tratteggiate che concorrono nei circoletti senza lettere.

Supposta  $r$  impropria ed avendo già fissato nel piano il punto  $S$ , il triangolo  $(B_i)$  ed il circolo  $\gamma$ , nel caso che  $\overline{I}$  risulti esterno a  $\gamma$  siamo dunque in grado di determinare le direzioni:

- 1) dei punti impropri  $M, N$  di  $\Gamma_2$ ;
- 2) dei centri  $M', N'$  dei due fasci di rette parallele, di una delle quali le tre omologhe nelle  $\Omega_i^{-1}$  concorrono rispettivamente in  $M, N$ , quando i centri delle  $\Omega_i$  sono allineati.

Le rette  $A_1A_2, B_1B_2, C_1C_2$  passano rispettivamente per  $A', B', C'$  e concorrono in uno stesso punto  $P$ .

Viceversa:

II) Data una conica  $\gamma$  ed un trilatero di vertici  $A'B'C'$  ad essa circoscritto nei punti  $A, B, C$ , sia  $P$  un punto del piano e siano  $A_1, A_2; B_1, B_2; C_1, C_2$  le rispettive intersezioni con  $\gamma$  delle rette  $A'P, B'P, C'P$ . Allora le tre coppie di rette  $AA_1, AA_2; BB_1, BB_2; CC_1, CC_2$  sono le coppie di lati opposti di un quadrangolo piano completo  $HKLM$ .

Si osservi che nella fig. 22 si è supposto (com'è sempre lecito, a meno di una omografia) che  $\gamma$  sia un circolo e  $P$  il suo centro. Allora la figura resta determinata a meno di una rotazione attorno a  $P$ . Inoltre il quadrangolo  $HKLM$  risulta tale che uno qualsiasi dei suoi vertici è l'ortocentro del triangolo degli altri tre, e  $\gamma$  è il ben noto circolo dei nori punti di ciascuno di questi quattro triangoli. I nove punti sono  $A, A_1, A_2; B, B_1, B_2; C, C_1, C_2$  (cfr. ad es. il n. 13 dell'articolo: «La geometria del triangolo» di V. RETALI e G. BIGGIOGERO, citato nella Introduzione).

**19. Modelli metrici reali delle terne di omologie in posizione omologica col triangolo degli assi non degenerare e la  $I$  iperbolica.**

Viceversa, proponiamoci di costruire un modello reale, valido per ogni terna di omologie  $\Omega_i$  in posizione omologica puntuale nella quale la  $I$  sia iperbolica.

Si può dapprima supporre che i centri  $A_i$  delle  $\Omega_i$  siano allineati sulla retta  $r$  e poi, fissata la configurazione degli assi  $b_i$  e determinato il punto  $S$ , si possono far scorrere i punti  $A_i$  sulle rette  $SB_i$ .

Ad arbitrio si potrà disporre nel piano il quadrangolo non degenerare avente per lati gli assi  $b_i$  e la retta  $r$ . Sulla retta  $r$  si potranno poi scegliere i punti doppi (reali)  $M, N$  di  $I$ . La loro scelta corrisponde alla scelta dei due parametri essenziali da cui dipende (a meno di una omografia) la nostra configurazione.

Resteranno quindi determinati i punti  $B_i$ , la conica  $\Gamma_2$  e, sulla retta  $r$ , i punti  $R_i$ .

Ciò equivale a dire che *si possono scegliere ad arbitrio la conica  $\Gamma_2$  e, su di essa, i tre punti  $B_i$  ed i due  $M, N$ , tutti reali. Inoltre, come vedremo tra poco, occorre che i punti  $B_i$  appartengano tutti e tre ad uno soltanto dei due archi in cui  $\Gamma_2$  è divisa dai due punti  $M, N$ .*

Supponiamo infatti, come nel n. 18, che la retta  $r$  sia impropria e riferiamola prospettivamente ad un fissato circolo  $\gamma$ . Su  $\gamma$  resteranno determinati i punti  $\bar{M}, \bar{N}, \bar{R}_i$  e quindi si potranno costruire il punto  $I$  ed il triangolo  $(R'_i)$  circoscritto a  $\gamma$  nei punti  $R_i$ . Le rette  $\bar{I}\bar{R}'_i$  segheranno  $\gamma$  nelle tre coppie di punti  $\bar{A}_i, \bar{A}'_i$ . Per il teorema II della nota <sup>13)</sup> del n. 18 vi sono quattro modi diversi ugualmente possibili per stabilire a quale dei due punti d'intersezione debba essere apposto l'apice. Fatta questa scelta (cfr. l'analoga scelta fatta al n. 16) resteranno determinati il punto  $S$ , i punti  $A_i$  sulla retta  $r$  ed il punto  $S$ , dove necessariamente debbono concorrere le rette  $A_iB_i$ .

Perchè la costruzione sia realmente possibile occorre che le rette  $\bar{I}\bar{R}'_i$  seghino  $\gamma$  in punti reali. Supponiamo, com'è lecito, che  $\Gamma_2$  sia una iperbole equilatera. Allora (cfr. fig. 21)  $\bar{M}, \bar{N}$

sono diametralmente opposti e  $\bar{I}$  è il punto improprio della direzione normale ad  $\bar{M}\bar{N}$ . Le rette parallele  $\bar{I}\bar{R}'_i$  segheranno tutte e tre  $\gamma$  in punti reali solo se il circolo  $\gamma$  è exinscritto al triangolo ( $\bar{R}'_i$ ), ossia solo se i punti  $R_i$  stanno tutti e tre in uno soltanto dei semicircoli in cui  $\gamma$  è diviso dai due punti  $\bar{M}\bar{N}$ .

Si può supporre che  $\gamma$  passi per uno, ad es.  $B_1$ , dei punti  $B_i$  e che sia riferita ad  $r$  per proiezione da  $B_1$ . Le rette ortogonali  $B_1\bar{M}$ ,  $B_1\bar{N}$  sono parallele agli asintoti di  $\Gamma_2$  ed i due rami di  $\Gamma_2$  stanno ciascuno in uno degli angoli completi da esse determinati.

D'altra parte anche le rette  $B_1\bar{R}_i$  stanno in uno solo di quegli angoli e, poichè i punti  $B_2$  e  $B_3$  sono le ulteriori intersezioni di  $l'_2$  con le  $B_1\bar{R}_3$  e  $B_1\bar{R}_2$ ,  $B_2$  e  $B_3$  appartengono allo stesso ramo di  $\Gamma_2$ . Lo stesso dicasi di  $B_3$  e  $B_1$ ,  $B_2$  e  $B_1$ . Insomma, come volevamo dimostrare, i vertici  $B_i$  del triangolo degli assi quando  $I$  è iperbolica appartengono tutti e tre allo stesso ramo di  $\Gamma_2$ .

Si osservi che, essendo la retta  $\bar{R}_i\bar{R}_k$  polare del punto  $\bar{R}'_i$ , il polo della retta  $\bar{I}\bar{R}'_i$  è il punto comune alle due rette  $\bar{M}\bar{N}$  ed  $\bar{R}_i\bar{R}_k$ .

Trasformiamo con una omografia la conica  $\Gamma_2$  in un circolo  $\gamma$  fissato, cui risulta iscritto il triangolo ( $B_i$ ), e riferiamo prospettivamente  $\gamma$  ad  $r$  dal centro  $B_1$ . Allora  $\bar{R}_2 = B_3$ ,  $\bar{R}_3 = B_2$  ed  $\bar{R}'_1$  coincide col punto  $B'_1$  comune alle due tangenti a  $\gamma$  in  $B_2$ ,  $B_3$ .

Si può, approfittando dei tre parametri da cui dipende ancora la scelta dell'omografia, fare in modo che la retta  $\bar{I}\bar{R}'_1$  divenga un diametro assegnato di  $\gamma$ . Con ciò  $R_1$  diviene il punto improprio delle normali alla  $\bar{I}\bar{R}'_1$ .

Rimane un solo parametro a disposizione, del quale si può approfittare per porre  $B_2$  in uno degli estremi del diametro di  $\gamma$  perpendicolare alla  $\bar{I}\bar{R}'_1$ , cosicchè  $B_3$  va a cadere nell'altro estremo.

Si ottiene così (v. fig. 23) un particolare modello metrico della totalità  $\infty^3$  delle terne di omologie  $\Omega_i$  in posizione omologica, con gli assi non concorrenti e la involuzione  $I$  iperbolica. Restano infatti ancora arbitrarie:

- 1) la scelta del punto  $B_1$ , su  $\gamma$ .

2) la scelta di  $r$ , parallela a  $B_2B_3$  e secante  $\gamma$  in due punti  $M, N$  appartenenti al semicerchio  $B_2B_3$  di  $\gamma$  non contenente  $B_1$ ; restano così determinati  $\bar{I}$  e, in quattro modi diversi, il punto  $S$  e quello  $S$ .

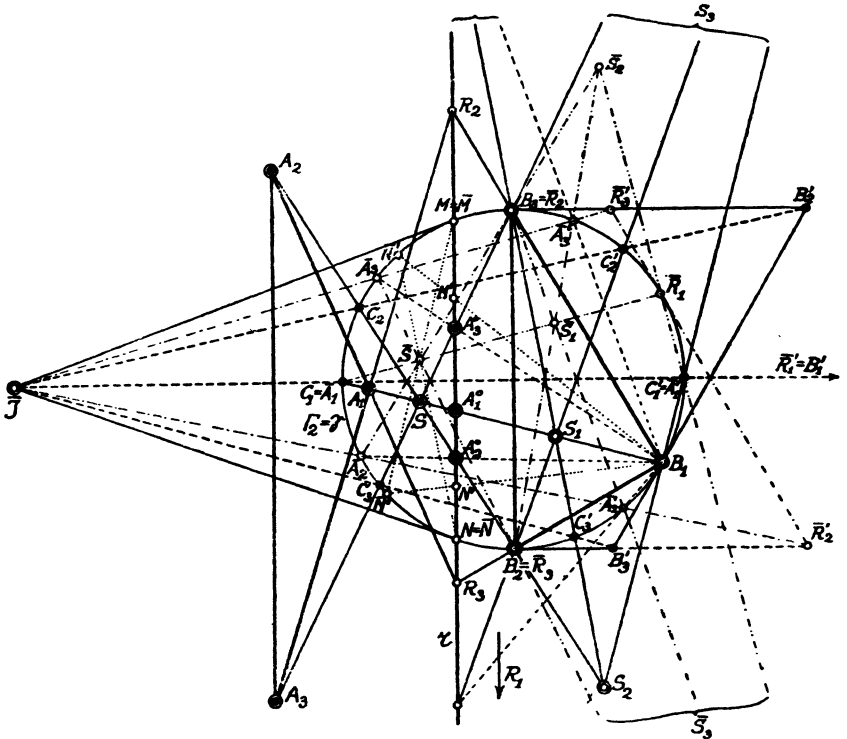


Fig. 23.

3) la scelta di uno dei centri  $A_i$  sulla  $SB_i$ , che determina la posizione degli altri due  $A_k, A_l$ .

Nella fig. 23 risulta chiaramente come la simmetria ortogonale rispetto alla retta  $\bar{I}R_1'$  trasformi il trilatero di vertici  $R_i'$  in quello di vertici  $B_i'$  circoscritto a  $\Gamma_2$  nei punti  $B_i$  ed il quadrangolo  $\bar{S}S_i$  in quello  $SS_i$ . Ciò conduce ad una notevole semplificazione della costruzione del punto  $S$ , espressa dal seguente teorema, che del resto era già implicito in quanto detto al n. 16:

*Ni fissino la conica  $\Gamma_2$  e, su di essa, i centri  $B_i$  delle  $\Omega_i$*

ed i punti  $M, N$ . Siano  $\bar{I}$  il polo della retta  $r = MN$  e  $B'_i$  i vertici del trilatero circoscritto a  $\Gamma_2$  nei punti  $B_i$ . Le rette  $IB'_i$  segano  $\Gamma_2$  nelle tre coppie di punti  $C_iC'_i$ . Le tre coppie di rette  $B_iC_i, B_iC'_i$  sono lati opposti di uno stesso quadrangolo piano completo. Solamente uno (qualsiasi) dei suoi quattro vertici può assumersi come centro  $S$  dell'omologia di asse  $r$  che lega il trilatero  $(b_i) = (B_i)$  degli assi ed il triangolo  $(A_i)$  dei centri delle  $\Omega_i$ , che restano completamente determinate dalla successiva scelta di uno dei centri  $A_i$ .

**20. - Modelli metrici reali delle terne di omologie in posizione omologica, col triangolo dei centri e la  $I^*$  non degeneri.**

Il duale del teorema del n. 19 riguarda una terna di omologie  $\Omega_i$  in posizione omologica radiale e con il triangolo  $(A_i)$  degli assi non degenerare, le cui inverse  $\Omega_i^{-1}$  sono dunque in posizione omologica puntuale, e può enunciarsi come segue:

*Siano dati la conica involuppo  $\bar{\Gamma}_2$  e, tangenti ad essa, i lati  $a_i$  del triangolo  $(A_i)$  dei centri delle  $\Omega_i$  e le rette  $m, n$ , intersecantesi in  $S$ . Le tre rette  $s_i = SA_i$  segano  $\bar{\Gamma}_2$  in tre coppie di punti, nei quali siano  $c_i, c'_i$  le tangenti. Le tre coppie di punti  $R_i = a_i \cdot c_i, R'_i = a_i \cdot c'_i$  sono vertici opposti di uno stesso quadrilatero piano completo. Solo uno (del resto qualsiasi) dei suoi quattro lati può assumersi come asse  $r$  della omologia di centro  $S$  che lega il triangolo  $(A_i) = (a_i)$  dei centri delle  $\Omega_i$  al trilatero  $(b_i)$  dei loro assi. Le  $\Omega_i$  restano completamente determinate dalla successiva scelta di uno degli assi  $b_i$ , nel fascio  $(R_i)$ .*

Anche questo teorema si può usare per costruire dei particolari modelli metrici reali della totalità  $\infty^3$  delle terne omograficamente distinte di omologie in posizione omologica, col triangolo dei centri non degenerare, ma validi anche nel caso che gli assi siano concorrenti.

Così nelle figg. 24, 25 si è assunto come conica  $\bar{\Gamma}_2$  un circolo.

Volendo che la involuzione  $I^*$  risulti iperbolica occorrerà scegliere il punto  $S$  esterno a  $\bar{\Gamma}_2$  (fig. 24) ed i punti di con-

tatto  $A_i'$  delle sue tre tangenti  $a_i$  dovranno appartenere (cfr. n. 18) ad un medesimo arco dei due individuati su  $\bar{\Gamma}_2$  dai punti di contatto delle tangenti  $m, n$  uscenti da  $S$ .

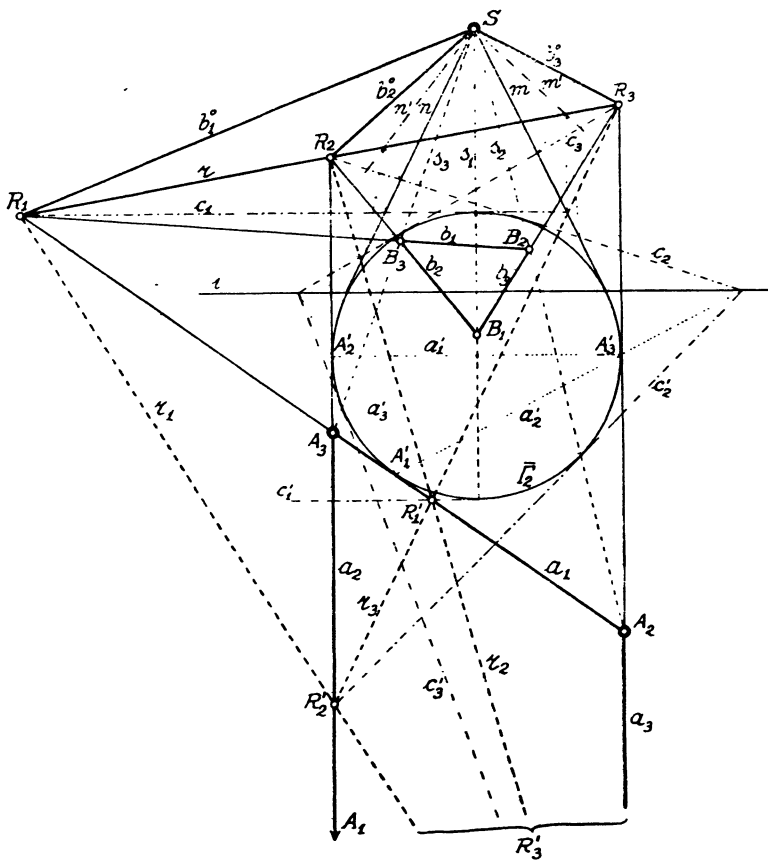


Fig. 24.

Se invece si vuole la  $I^*$  ellittica,  $S$  si dovrà scegliere interno a  $\bar{\Gamma}_2$ . Nella fig. 25 si è scelto come punto  $S$  addirittura il centro di  $\bar{\Gamma}_2$ , cosicchè la  $I^*$  è la involuzione degli angoli retti.

Si osservi che, quando gli assi  $b_i$  sono concorrenti in  $S$  (nelle figg. 24, 25 sono quelli  $b_i^0$ ), nelle  $\Omega_i^{-1}$  (in posizione omologica puntuale) alla retta  $r$  corrispondono le rette  $c_i$ . Si tenga anche presente che allora la cubica  $\Gamma$  luogo dei punti  $P$  i cui tre omologhi  $P_i^{-1}$  nelle  $\Omega_i^{-1}$  sono allineati si spezza

nella retta  $r$  e nelle altre due rette  $m'$ ,  $n'$  corrispondenti comuni di  $m$ ,  $n$  nelle tre  $\Omega_i$ .

Un punto  $P$  di  $r$  ha i suoi tre omologhi  $P_i^{-1}$  allineati su una tangente  $g$  a  $\bar{\Gamma}_2$ , variabile con  $g$ . Un punto  $P$  di  $m'$  ( $n'$ ) ha i suoi tre omologhi  $P_i^{-1}$  allineati sulla retta fissa  $m$  ( $n$ ).

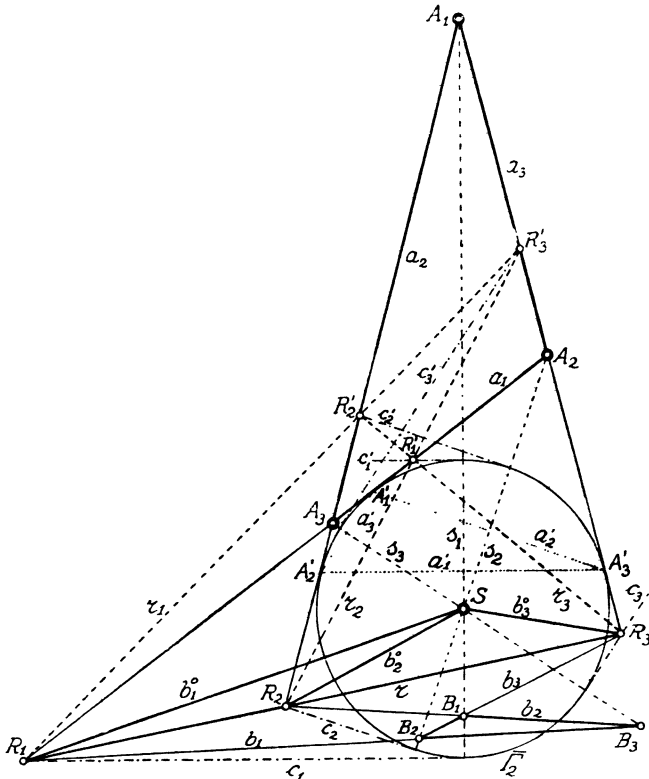


Fig. 25.

Viceversa una tangente  $g$  di  $\bar{\Gamma}_2$  ha le sue tre omologhe  $g_i$  nelle  $\Omega_i$  concorrenti in un punto  $P$  di  $r$ , variabile con  $g$ . D'altra parte è ovvio che una retta  $g$  per  $S$  (unito nelle tre  $\Omega_i$ ) ha le sue tre omologhe  $g_i$  concorrenti in  $S$ , che coincidono con  $m'$  od  $n'$  quando  $g$  coincide con  $m$  o rispettivamente con  $n$ .

Si ottengono così altrettante proprietà della configurazione costituita da un triangolo  $(A_i)$ , da uno  $\bar{\Gamma}_2$  dei suoi cerchi inscritti e da un punto  $S$  del suo piano.

**21. - Altro modello metrico reale, per il caso che la  $I^*$  sia ellittica.**

Ad un'altra notevole classe di modelli metrici reali della totalità  $\infty^3$  delle terne omograficamente distinte di omologie in posizione omologica, con il triangolo dei centri non dege-

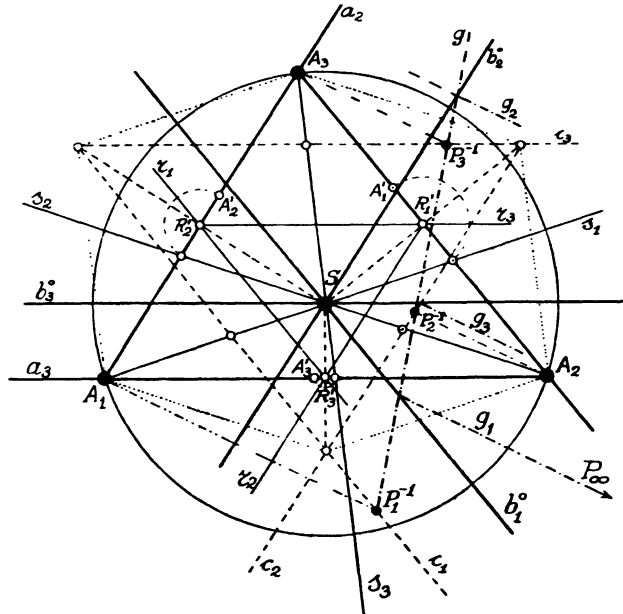


Fig. 26.

nere, validi anche quando gli assi siano concorrenti, si perviene come segue, nel caso che la  $I^*$  sia ellittica :

Dualizzando le considerazioni fatte al n. 14 si riconosce che le tre coppie di rette  $SR_i, SR'_i$  si corrispondono nella  $I^*$  e che, sul lato  $a_i$ , la coppia di punti  $R_i, R'_i$  separa armonicamente tanto la coppia  $A_k, A_l$  quanto quella  $A'_i, a_i \cdot s_i$ .

Pertanto, trasformando con una omografia  $r$  nella retta impropria e le rette doppie  $m, n$  della  $I^*$  nelle rette isotrope uscenti da un punto  $S$ ,  $S$  diviene il circocentro del triangolo  $(A_i)$ , di cui  $R$  è il baricentro. Inoltre  $S$  è un fuoco della conica  $\bar{\Gamma}_2$ , che tocca ogni lato  $a_i$  nel punto  $A'_i$  simmetrico di quello  $a_i \cdot s_i$  rispetto al suo punto medio  $R'_i$ . Infine la figura risulta

determinata a meno di una similitudine (v. fig. 26, dove gli assi  $b_i^0$  sono concorrenti).

Dunque ogni terna di omologie  $\Omega_i$  in posizione omologica radiale non banale con i centri non allineati e la  $I^*$  ellittica si può sempre trasformare, con una omografia reale, nella terna delle omologie  $\Omega_i$  aventi per centri i vertici di un triangolo  $(A_i)$  (determinato a meno di una similitudine) ed il triangolo degli assi (eventualmente degenerare) omotetico a questo, col centro di omotetia  $S$  nel circocentro di  $(A_i)$ . Detta  $r_i$  la retta congiungente i punti medi dei lati uscenti da  $A_i$ , nella  $\Omega_i$  alla retta  $r_i$  corrisponde il lato  $a_i$  opposto ad  $A_i$ .

La  $\bar{T}_2$  è la conica (inviluppo) tangente ai lati del triangolo  $(A_i)$ , con un fuoco in  $S$ .

Viceversa risulta già da quanto precede (nn. 3, 4) che, per ogni scelta del triangolo  $(A_i)$  e del rapporto di omotetia, le suddette  $\Omega_i$  sono sempre in posizione omologica radiale e le loro inverse in posizione omologica puntuale (nn. 7, 8).

La conica  $\bar{T}_2$  diviene un circolo solo se  $S$  coincide con uno dei centri dei circoli inscritti in  $(A_i)$ , e quindi necessariamente<sup>16)</sup> con l'incentro. Allora  $\bar{T}_2$  è il circolo inscritto ad

<sup>16)</sup> Si pensino ad es. fissati il circolo circoscritto  $\gamma$ , di centro  $S$  ed i vertici  $A_1, A_3$  del triangolo. Sia  $MN$  il diametro ortogonale alla corda  $A_1A_3$ , ossia l'asse del lato  $A_1A_3$ , contenente  $S$ . Si pensi il vertice  $A_2$  variabile su  $\gamma$ ; saranno  $A_2M, A_2N$  le bisettrici dell'angolo in  $A_2$ .

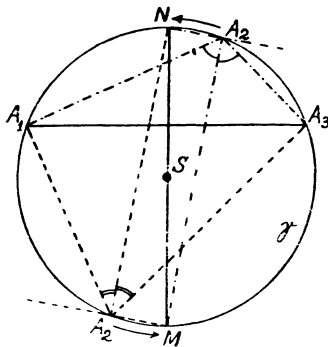
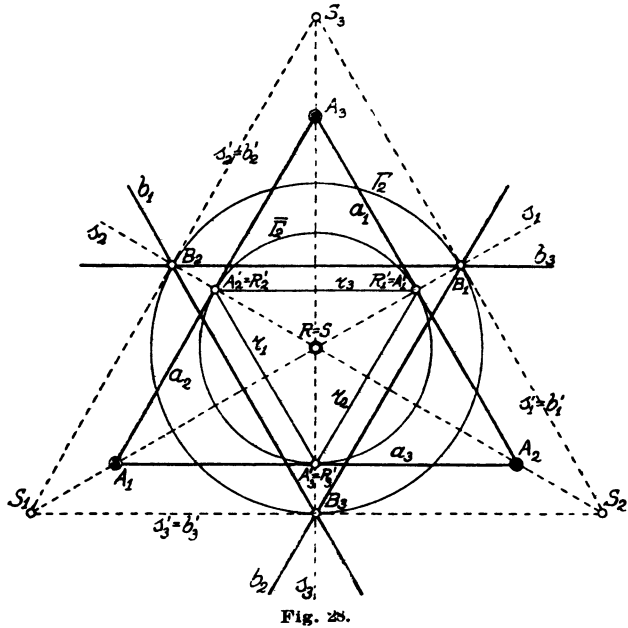


Fig. 27.

Perchè una di esse passi per  $S$  occorre [che  $A_2$  sia allineato con  $M, S$ , oppure con  $N, S$ , ossia] che  $A_2$  coincida con  $M$  o con  $N$  e che quindi quella bisettrice coincida con l'asse del segmento  $A_1A_3$ . Si tratta dunque della bisettrice interna (v. fig. 27).

( $A_i$ ), che risulta equilatero, concentrico ed omotetico al triangolo degli assi ( $b_i$ ). Inoltre (v. fig. 28), se gli assi non concorrono in  $S$ , anche  $\Gamma_2$  è un circolo, concentrico a  $\bar{\Gamma}_2$ .



Lasciando da parte l'ipotesi che ( $A_i$ ) sia equilatero, supponiamo infine che gli assi  $b_i$  concorrano in  $S$ . Allora le rette limiti  $c_i$  delle  $\Omega_i^{-1}$  sono tangenti a  $\bar{\Gamma}_2$  e una tangente variabile  $g$  di  $\bar{\Gamma}_2$  sega su di esse una terna di punti  $P_i^{-1}$  omologhi nelle  $\Omega_i^{-1}$  di uno stesso improprio  $P_\infty$ , variabile con  $g$ . Sicchè viceversa le tre omologhe  $g_i$  di  $g$  nelle  $\Omega_i$  sono parallele (a  $P_\infty$ ).

Nella fig. 26 si sono messi in evidenza anche i punti di contatto  $c_i \cdot s_i$  delle  $c_i$  con  $\bar{\Gamma}_2$ .

## CAP. IV.

### IL CASO IN CUI I CENTRI SONO ALLINEATI E GLI ASSI CONCORRENTI

#### 22. - Premesse algoritmiche - Uguaglianza delle caratteristiche.

Andiamo infine ad esaminare brevemente il caso finora escluso in cui contemporaneamente accade che *i tre centri  $A_i$  delle  $\Omega_i$  sono allineati su di una retta  $r$  ed i loro tre assi  $b_i$  concorrono in un punto  $R$ , non appartenente ad  $r$ .*

Siano  $a_i$  le rette  $RA_i$  e  $B_i$  i punti  $r \cdot b_i$ .

Supponiamo anche che le  $\Omega_i$  non siano speciali ed ammettiamo, com'è suggerito da ragioni di continuità (partendo ad es. dal caso già esaminato che i tre assi non concorrano in un punto) che *le tre coppie di punti  $A_i, B_i$  della retta  $r$  (e quindi anche le tre coppie di rette  $a_i, b_i$  del fascio  $R$ ) si corrispondano in una stessa involuzione  $I$ , non degenera, di punti doppi  $S, T$ .*

Sia  $k_i$  la caratteristica puntuale della  $\Omega_i$ . Assunti come fondamentali per il riferimento proiettivo puntuale i punti  $R(001), S(010), T(100)$ , sarà:

$$B_i = (1, m_i, 0), A_i = (1, -m_i, 0).$$

Per ottenere le equazioni della  $\Omega_i$ , ossia per esprimere le coordinate  $y_{ik}$  del punto  $P_i$  in funzione di quelle  $x_i$  del punto  $P$  di cui è trasformato, basta esprimere:

1) che  $P, P_i, A_i$  sono allineati

2) che il birapporto delle quattro rette  $r, b_i, B_iP, B_iP_i$  è uguale a  $k_i$ .

In coordinate non omogenee  $P(x, y)$ ,  $P_i(x_i y_i)$ , si ha:

$$\frac{y_i - y}{x_i - x} = -m_i, \quad \frac{y_i - m_i x_i}{y - m_i x} = k_i,$$

ossia:

$$\begin{cases} 2m_i x_i = (1 + k_i)m_i x + (1 - k_i)y, \\ 2m_i y_i = (1 - k_i)m_i^2 x + (1 + k_i)m_i y, \end{cases}$$

e quindi, in coordinate omogenee:

$$(22.1) \quad y_{i1}:y_{i2}:y_{i3} = [(1 + k_i)m_i x_1 + (1 - k_i)x_2]: \\ :[(1 - k_i)m_i x_1 + (1 + k_i)x_2]m_i:2m_i x_3.$$

Tenendo presente che, nelle ipotesi fatte,  $k_i \neq \infty, 0, 1$ , si può porre:

$$(22.2) \quad h_i = \frac{1 + k_i}{1 - k_i}, \quad (h_i \neq -1, 1, \infty; h_i = 0 \text{ se } k_i = -1, \text{ cioè } \Omega_i \text{ armonica}),$$

e quindi:

$$k_i = \frac{h_i - 1}{h_i + 1}, \quad \frac{2}{1 - k_i} = h_i + 1.$$

Allora le equazioni della  $\Omega_i$  si scrivono:

$$(22.3) \quad y_{i1}:y_{i2}:y_{i3} = (m_i h_i x_1 + x_2):m_i(m_i x_1 + h_i x_2):m_i(h_i + 1)x_3.$$

Si verifica facilmente che *la cubica luogo dei punti  $P$  i cui omologhi  $P_i$  sono allineati non svanisce identicamente e si spezza nei tre lati  $r, s, t$  del triangolo  $RST$  appena  $h_1 = h_2 = h_3$ .*

Le  $\Omega_i$  risulteranno in posizione omologica *puntuale* quando il trilatero di vertici  $P_1 P_2 P_3$  risulti sempre omologico a quello (degenere) degli assi  $b_1 b_2 b_3$ , ossia quando risultino allineati i tre punti  $Q_i = P_k P_l \cdot b_i$  ( $i \neq k \neq l = 1, 2, 3$ ).

Le coordinate del punto  $Q_1$  si ottengono risolvendo il si-

stema:

$$\left\{ \begin{array}{l} y_2 = m_1 y_1 \\ \left| \begin{array}{ccc} y_1 & m_1 y_1 & y_3 \\ m_2 h_2 x_1 + x_2 & m_2(m_2 x_1 + h_2 x_2) & m_2(h_2 + 1)x_3 \\ m_3 h_3 x_1 + x_2 & m_3(m_3 x_1 + h_3 x_2) & m_3(h_3 + 1)x_3 \end{array} \right| = 0, \end{array} \right.$$

da cui:

$$(22.4) \left\{ \begin{array}{l} y_1 : y_2 : y_3 = \\ = [m_2 m_3 (m_3 h_2 - m_2 h_3) x_1^2 + (m_3^2 - m_2^2) x_1 x_2 + (m_3 h_3 - m_2 h_2) x_2^2] : \\ : m_1 [m_2 m_3 (m_3 h_2 - m_2 h_3) x_1^2 + (m_3^2 - m_2^2) x_1 x_2 + (m_3 h_3 - m_2 h_2) x_2^2] : \\ : x_3 [m_2 m_3 \{ (m_1 + m_3) h_2 - (m_1 + m_2) h_3 - (m_2 - m_3) \} x_1 - \\ - \{ m_2 (m_1 + m_3) h_2 - m_3 (m_1 + m_2) h_3 + m_1 (m_2 - m_3) \} x_2]. \end{array} \right.$$

Analogamente per  $Q_2, Q_3$ , le cui coordinate si ottengono da quelle di  $Q_1$  permutando circolarmente gli indici, 1, 2, 3 nelle lettere  $m_i, h_i$ .

Per  $x_1 = 0, x_2 x_3 \neq 0$  la condizione di allineamento di  $Q_1, Q_2, Q_3$  fornisce<sup>17)</sup>:

$$\begin{aligned} & | m_3 h_3 - m_2 h_2, m_1 (m_3 h_3 - m_2 h_2), \\ & m_3 (m_1 + m_2) h_3 - m_2 (m_1 + m_3) h_2 + m_1 (m_3 - m_2) | = 0, \end{aligned}$$

e poichè sommando le righe si ottiene zero in corrispondenza alla 1ª e alla 3ª colonna, per l'annullarsi del determinante occorre e basta che sia zero anche la somma relativa alla 2ª colonna, ossia:

$$(22.5) \quad h_1 m_1 (m_2 - m_3) + h_2 m_2 (m_3 - m_1) + h_3 m_3 (m_1 - m_2) = 0.$$

Per  $x_2 = 0, x_1 x_3 m_1 m_2 m_3 \neq 0$ , la condizione di allineamento

17) Qui ed in seguito si è scritta solo la 1ª riga di un determinante le cui righe successive si ottengono dalla prima permutando circolarmente gli indici 1, 2, 3 nelle lettere  $m_i, h_i$ .

di  $Q_1, Q_2, Q_3$  si scrive:

$$\begin{vmatrix} m_2 m_3 (m_3 h_2 - m_2 h_3), & m_1 m_2 m_3 (m_3 h_2 - m_2 h_3), \\ m_2 m_3 \{ (m_1 + m_3) h_2 - (m_1 + m_2) h_3 - (m_2 - m_3) \} \end{vmatrix} = 0,$$

ossia, sopprimendo il fattore comune  $m_1 m_2 m_3$  dalla 2<sup>a</sup> colonna, moltiplicando la riga  $i$ -esima per  $m_i$  e sopprimendo poi dalla 1<sup>a</sup> e 3<sup>a</sup> colonna il fattore comune  $m_1 m_2 m_3$ :

$$\begin{vmatrix} m_3 h_2 - m_2 h_3, & m_1 (m_3 h_2 - m_2 h_3), \\ (m_1 + m_3) h_2 - (m_1 + m_2) h_3 - (m_2 - m_3) \end{vmatrix} = 0.$$

È poichè anche ora, sommando le righe, si ottiene zero in corrispondenza della 2<sup>a</sup> e 3<sup>a</sup> colonna, occorre e basta che sia zero anche la somma degli elementi della 1<sup>a</sup> colonna, ossia:

$$(22.6) \quad h_1(m_2 - m_3) + h_2(m_3 - m_1) + h_3(m_1 - m_2) = 0.$$

Dalle (22.5), (22.6) si ricava:

$$h_1(m_2 - m_3) : h_2(m_3 - m_1) : h_3(m_1 - m_2) = (m_2 - m_3) : (m_3 - m_1) : (m_1 - m_2),$$

ossia (essendo distinti gli assi delle  $\Omega_i$ , cioè avendosi  $(m_2 - m_3)(m_3 - m_1)(m_1 - m_2) \neq 0$ ):

$$(22.7) \quad h_1 = h_2 = h_3 = h.$$

Dunque intanto: *condizione necessaria per la posizione omologica puntuale delle  $\Omega_i$  è che esse abbiano la stessa caratteristica.*

### 23. - Le omologie debbono essere armoniche. Configurazione dei centri e degli assi.

Tenendo conto delle (22.7) le coordinate del punto  $Q_1$  si scrivono:

$$\begin{aligned} y_1 : y_2 : y_3 &= [m_2 m_3 h x_1^2 + (m_2 + m_3) x_1 x_2 + h x_2^2] : \\ &: m_1 [m_2 m_3 h x_1^2 + (m_2 + m_3) x_1 x_2 + h x_2^2] : \\ &: (h + 1) x_3 (m_2 m_3 x_1 + m_1 x_2), \end{aligned}$$

e quelle di  $Q_2, Q_3$  si ottengono da queste permutando gli indici 1, 2, 3 nelle  $m_i$ .

Quindi, essendo  $(h + 1)x_3 \neq 0$ , la condizione di allineamento di  $Q_1, Q_2, Q_3$  diviene:

$$(23.1) \quad \begin{aligned} &|[m_2 m_3 h x_1^2 + (m_2 + m_3)x_1 x_2 + h x_2^2], \\ & m_1[m_2 m_3 h x_1^2 + (m_2 + m_3)x_1 x_2 + h x_2^2], (m_2 m_3 x_1 + m_1 x_2)| = 0 \end{aligned}$$

e dovrà essere soddisfatta *identicamente rispetto alle  $x_i$* , se si vuole che le  $\Omega_i$  siano in posizione omologica puntuale.

Supponiamo dapprima  $h \neq 0$ . Sottraendo dalla 1ª colonna del determinante (23.1) la 3ª moltiplicata per  $h x_1$  e dalla 2ª la 3ª moltiplicata per  $h x_2$ , la (23.1) si scrive:

$$\begin{aligned} &|(m_2 + m_3)x_1 + h(x_2 - m_1 x_1), \quad m_1(m_2 + m_3)x_2 - h m_2 m_3(x_2 - m_1 x_1), \\ & \quad m_2 m_3 x_1 + m_1 x_2| \equiv 0, \end{aligned}$$

da cui, con facili trasformazioni e tenendo conto che:

$$m_1 m_2 m_3 (m_2 - m_3)(m_3 - m_1)(m_1 - m_2)(h + 1) \neq 0,$$

si ottiene infine la condizione di allineamento nella forma:

$$(23.2) \quad \begin{aligned} &h m_1 m_2 m_3 x_1^3 + (m_2 m_3 + m_3 m_1 + m_1 m_2)x_1^2 x_2 + \\ & \quad + (m_1 + m_2 + m_3)x_1 x_2^2 + h x_2^3 \equiv 0. \end{aligned}$$

Dunque intanto: *le  $\Omega_i$  non possono essere in posizione omologica puntuale se non sono armoniche*, ossia se  $h \neq 0$ .

Esaminiamo infine il caso che le  $\Omega_i$  siano armoniche ( $h = 0$ ). Allora la condizione di omologia (23.1) si scrive:

$$|m_2 + m_3, m_1(m_2 + m_3), m_2 m_3 x_1 + m_1 x_2| \equiv 0,$$

e si traduce quindi nelle due condizioni:

$$\begin{cases} |m_2 + m_3, m_1(m_2 + m_3), m_2 m_3| = 0 \\ |m_2 + m_3, m_1(m_2 + m_3), m_1| = 0 \end{cases}$$

ossia, con facili trasformazioni, essendo:

$$(m_2 - m_3)(m_3 - m_1)(m_1 - m_2) \neq 0,$$

nelle:

$$(23.3) \quad \begin{cases} m_1 + m_2 + m_3 = 0 \\ m_2 m_3 + m_3 m_1 + m_1 m_2 = 0. \end{cases}$$

In altre parole le  $\Omega_i$  sono in posizione omologica puntuale solo allora che l'equazione cubica che fornisce i valori di  $m_1$ ,  $m_2$ ,  $m_3$  è del tipo:

$$(23.4) \quad m^3 = \mu,$$

dove  $\mu$  è una costante non nulla. Anzi, scegliendo su uno degli assi  $b_i$  il punto unità del riferimento proiettivo (sul quale non era stata fatta alcuna ipotesi) si può addirittura supporre

$$\mu = 1.$$

Ciò equivale a dire che: *tre omologie  $\Omega_i$  non speciali con i centri  $A_i$  distinti e allineati su di una retta  $r$  e gli assi distinti e concorrenti in un punto  $R$  sono in posizione omologica puntuale solo se armoniche e se nel fascio di centro  $R$  la proiettività ciclica  $(b_1, b_2, b_3)$  ha come rette unite le stesse rette doppie  $s, t$  della involuzione cui appartengono le tre coppie  $a_i b_i$ .*

Si noti che, essendo la configurazione  $(A_i, b_i)$  autoduale, le  $\Omega_i$  sono allora anche in posizione omologica radiale. E dualmente.

#### 24. - Modello metrico e proprietà che se ne deducono.

Se le  $\Omega_i$  sono reali, cioè se sono reali i loro assi  $b_i$  ed i loro centri  $A_i$ , le rette  $s, t$  risultano immaginarie coniugate. Perciò con una omografia reale si può trasformare la retta  $r$  nella retta impropria e le rette  $s, t$  nelle rette isotrope uscenti da un punto proprio  $R$  del piano. La figura resta determinata a meno di una similitudine di centro  $R$  e le  $\Omega_i$  divengono le simmetrie ortogonali rispetto a tre assi  $b_i$  che dividono in parti uguali l'angolo giro di centro  $R$  (v. fig. 29).

Dunque tre omologie reali  $\Omega_i$ , non speciali, con i centri  $A_i$  distinti ed allineati su di una stessa retta  $r$  e gli assi distinti e concorrenti in un punto  $R$  non appartenente ad  $r$ , sono in posizione omologica (radiale e, contemporaneamente, puntuale) solo se con una omografia reale si possono trasformare nelle sim-

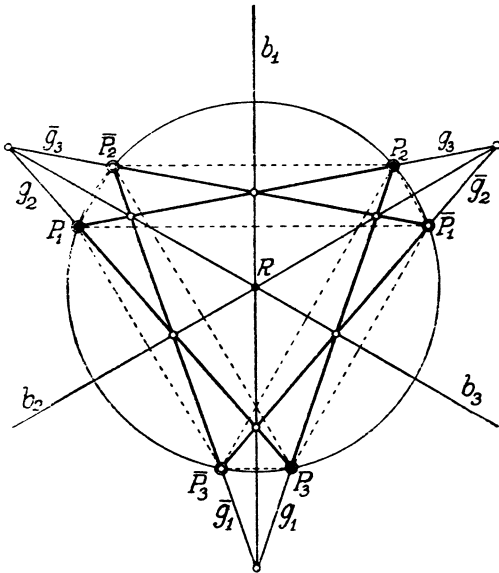


Fig. 29.

metrie ortogonali rispetto a tre assi concorrenti e dividenti in parti uguali l'angolo giro.

Pertanto, prese nel piano tre rette  $b_1, b_2, b_3$  uscenti da un medesimo punto  $R$  e dividenti in parti uguali l'angolo giro:

I) Si consideri il triangolo  $P_1P_2P_3$  avente per vertici i simmetrici  $P_i$  di un medesimo punto  $\bar{P}_1$  rispetto alla retta  $b_i$ . Sia  $Q_i$  il punto di intersezione con  $b_i$  del lato del triangolo opposto al vertice  $P_i$ . Allora i tre punti  $Q_1, Q_2, Q_3$  sono allineati su di una retta  $\bar{g}_1$ , variabile con  $\bar{P}_1$ .

II) Si consideri il trilatero  $g_1g_2g_3$  avente per lati le simmetriche  $g_i$  di una medesima retta  $\bar{g}_1$  rispetto alle rette  $b_i$ . Sia  $q_i$  la retta normale all'asse  $b_i$  per il vertice del trilatero opposto al lato  $g_i$ . Allora le tre rette  $q_1, q_2, q_3$  concorrono in un punto  $P_1$ , variabile con  $\bar{g}_1$ .

Osservando la fig. 29 si riconosce che:

III) Se la retta  $\bar{g}_1$  dell'enunciato di sinistra coincide con quella dell'enunciato di destra, lo stesso accade per i due punti  $\bar{P}_1$ . Ossia la trasformazione di sinistra  $\pi = (\bar{P}_1 \rightarrow \bar{g}_1)$  è l'inversa di quella di destra ( $\bar{g}_1 \rightarrow \bar{P}_1$ ). Inoltre:

IV) La trasformazione  $\pi$  è la polarità armonica rispetto al triangolo  $RST$ . Si ricordi che nella fattispecie  $S$  e  $T$  sono i punti ciclici<sup>18)</sup>.

V) Il triangolo  $P_1P_2P_3$  è equilatero, col centro in  $R$ , e coincide col trilatero  $g_1g_2g_3$ .

VI) Sia  $\bar{P}_1\bar{P}_2\bar{P}_3$  il triangolo equilatero ottenuto ruotando quello  $P_1P_2P_3$  attorno ad  $R$ , fino a sovrapporre uno qualsiasi dei  $P_i$  a  $\bar{P}_1$ : allora i suoi lati sono le rette  $\bar{g}_1, \bar{g}_2, \bar{g}_3$ , come si potrebbe verificare facilmente anche per via analitica.

La situazione dei due triangoli  $(P_i) = (g_i)$  e  $(\bar{P}_i) = (\bar{g}_i)$  rispetto alle tre rette  $b_1, b_2, b_3$  è perfettamente simmetrica, in quanto:

A) i vertici di uno di essi sono i simmetrici di uno qualsiasi dei vertici dell'altro rispetto a  $b_1, b_2, b_3$ ;

B) i lati di uno di essi sono i simmetrici di uno qualsiasi dei lati dell'altro rispetto a  $b_1, b_2, b_3$ ;

C) ciascuna delle simmetrie di asse  $b_i$  trasforma uno dei due triangoli nell'altro, cosicchè essi sono omologici in tre modi diversi<sup>19)</sup>.

È chiaro che gli enunciati precedenti, già di per se notevoli nella loro formulazione metrica, esprimono altrettante proprietà proiettive delle terne di omologie in posizione omologica con gli assi concorrenti ed i centri allineati.

Così ad es. la circostanza che il triangolo  $P_1P_2P_3$  sia equi-

<sup>18)</sup> Cfr. E. MORGANTINI, *Su una relazione di armonia fra i triangoli del piano proiettivo complesso*, n. 13. [Annali Triestini, vol. XXI (1951), Sez. II, pp. 5-33].

<sup>19)</sup> Se uno dei due triangoli si ottiene dall'altro con una rotazione di  $\pi/3$  (e quindi anche di  $\pi$ ), alle precedenti tre omologie si aggiunge anche la simmetria rispetto al centro  $R$ .

latero col centro  $R$  si può esprimere in forma proiettiva dicendo che i punti di intersezione della retta  $r$  con i suoi lati costituiscono un ciclo di una delle due proiettività cicliche del 3° ordine coi punti uniti  $S$  e  $T$  e che la retta  $r$  è la polare armonica di  $R$  rispetto al triangolo.

Così una rotazione di centro  $R$  diviene una omografia coi punti uniti  $R, S, T$  che muta in sé una (e quindi ogni) conica irriducibile tangente in  $S, T$  alle rette  $RS, RT$ .

Ma ormai è ora di finire, ringraziando il paziente e benévolo lettore.

## INDICE DEL TESTO

<i>Introduzione</i> . . . . .	pag. 328
<b>CAP. I - La posizione omologica non banale, nel caso che non siano contemporaneamente allineati i centri e concorrenti gli assi.</b>	
1. Premesse algoritmiche . . . . .	» 336
2. Condizione necessaria per la posizione omologica radiale o puntuale . . . . .	» 337
3. La retta $r$ non contiene i centri; il punto $S$ non appartiene agli assi . . . . .	» 339
4. Condizioni sufficienti e determinazione della posizione omologica . . . . .	» 340
5. Relazioni tra la posizione omologica e la trilinearità . . . . .	» 342
6. Caso speciale e caso involutorio . . . . .	» 344
7. Simultaneità della posizione omologica radiale diretta e puntuale inversa . . . . .	» 346
8. Come sopra, per via sintetica . . . . .	» 348
9. Osservazioni particolari sulle terne di omologie involutorie in posizione omologica . . . . .	» 351
<b>CAP. II - Il luogo dei punti i cui omologhi sono allineati e l'inviluppo duale.</b>	
10. Luogo dei punti i cui tre omologhi sono allineati. Sua degenerazione . . . . .	» 356
11. Particolarizzazioni affini e metriche. Teorema di Poncelet . . . . .	» 358
12. Il luogo del n. 10 e l'inviluppo duale, nel caso che le tre omologie siano in posizione omologica . . . . .	» 361
13. Come sopra, sul caso involutorio . . . . .	» 364
14. Caratterizzazioni proiettive della conica $\Gamma_2$ . . . . .	» 366
<b>CAP. III - Modelli metrici, nel caso in cui non sono contemporaneamente allineati i centri e concorrenti gli assi.</b>	
15. Modelli affini del caso speciale in cui $r$ ed $S$ si appartengono e dei suoi casi limite . . . . .	» 369
16. Modelli metrici reali delle terne di omologie in posizione omologica, col trilatero degli assi non degenerare ed $I$ ellittica . . . . .	» 372
17. L'inviluppo $\bar{\Gamma}$ si spezza in tre fasci di rette quando $\Gamma$ si spezza nella retta $r$ e nella conica $\Gamma_2$ . . . . .	» 375
18. Costruzione dei centri dei fasci di cui sopra, quando $I$ è iperbolica . . . . .	» 376
19. Modelli metrici reali delle terne di omologie in posizione omologica col triangolo degli assi non degenerare e la $I$ iperbolica . . . . .	» 380

20. Modelli metrici reali delle terne di omologie in posizione omologica, col triangolo dei centri e la  $I^*$  non degeneri . . . . . pag. 383

21. Altro modello metrico reale, per il caso che la  $I^*$  sia ellittica . . . . . > 386

**CAP. IV - Il caso in cui i centri sono allineati e gli assi concorrenti.**

22. Premesse algoritmiche. Uguaglianza delle caratteristiche . . . . . > 389

23. Le omologie debbono essere armoniche. Configurazione dei centri e degli assi . . . . . > 392

24. Modello metrico e proprietà che se ne deducono . . . . . > 394

**INDICE DELLE FIGURE**

1. Configurazione degli assi e dei centri in una generica terna di omologie non speciali in posizione omologica . pag. 342

2. Caso delle omologie speciali . . . . . > 344

3. Caso delle omologie armoniche, quando gli assi non sono concorrenti . . . . . > 345

4. Caso delle omologie armoniche, quando i centri non sono allineati . . . . . > 346

5. Omologia e polarità . . . . . > 349

6. Particolare dimostrativo . . . . . > 350

7. Comportamento radiale di una terna di omologie involutorie in posizione omologica con gli assi non concorrenti > 352

8. Duale della precedente . . . . . > 353

9. Compartamento puntuale delle omologie di cui alla fig. 7 > 354

10. Comportamento radiale delle omologie di cui alla fig. 8 > 354

11. Teorema di Poncelet . . . . . > 360

12. Particolare atteggiamento metrico del teorema duale del precedente . . . . . > 361

13. Allineamento con l'ortocentro dei simmetrici di un punto del circolo circoscritto rispetto ai lati di un triangolo . > 365

14. Proprietà tangenziale dei circoli inscritti ad un triangolo > 365

15. Particolare dimostrativo . . . . . > 367

16. Modello affine del caso speciale in cui  $r$  ed  $S$  si appartengono . . . . . > 370

17. Particolare atteggiamento metrico della posizione omologica puntuale . . . . . > 371

18. Particolare atteggiamento metrico della posizione omologica radiale . . . . . > 371

19. Modello metrico di una terna di omologie in posizione omologica col trilatero degli assi non degeneri e la  $I$  ellittica . . . . . > 373

20. Una proprietà del circolo circoscritto ad un triangolo . > 374

21. Costruzione delle direzioni dei punti $M, N, M', N'$ , quando $I$ è iperbolica . . . . .	pag. 377
22. Una proprietà del circolo dei nove punti . . . . .	» 378
23. Modello metrico di una terna di omologie in posizione omologica, col trilatero degli assi non degenerare, la $I$ iperbolica ed in cui $\Gamma_2$ è un circolo . . . . .	» 382
24. Come sopra, quando non è degenerare il triangolo dei centri, $\bar{\Gamma}_2$ è un circolo e la $I^*$ è iperbolica . . . . .	» 384
25. Come sopra, quando la $I^*$ è ellittica . . . . .	» 385
26. Come sopra, altro modello metrico . . . . .	» 386
27. Particolare dimostrativo . . . . .	» 388
29. Modello metrico del caso in cui gli assi concorrono e i centri sono allineati . . . . .	» 395